

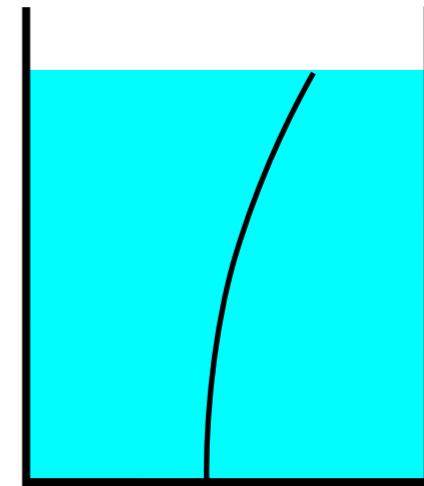
# Tiges élastiques : deux exemples

Sébastien Neukirch (CNRS & UPMC Univ. Paris 6)

## Elasto-capillarité

José Bico (ESPCI)

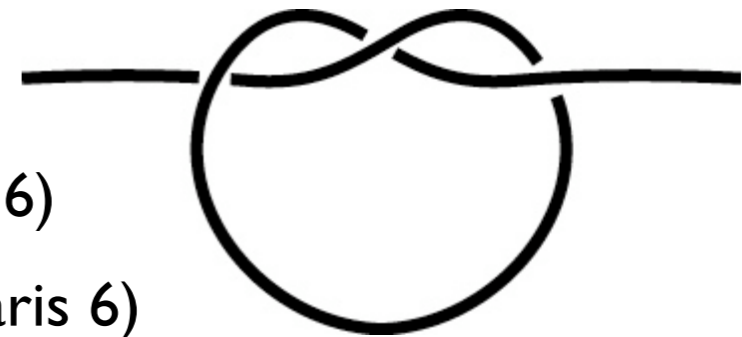
Benoît Roman (CNRS & ESPCI)



## Noeuds élastiques

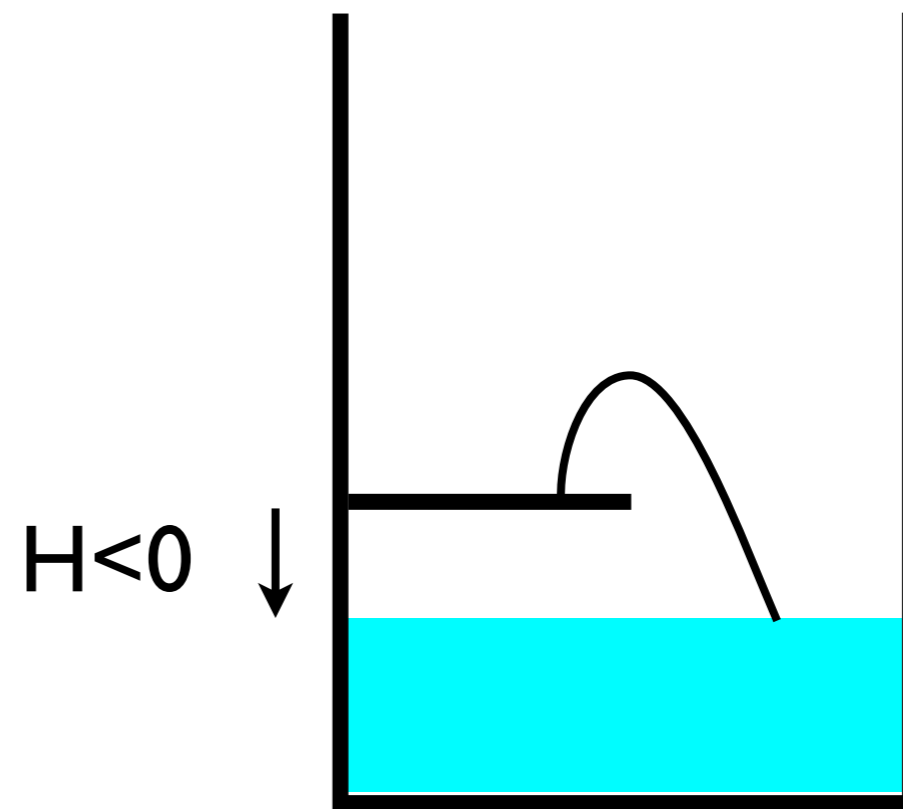
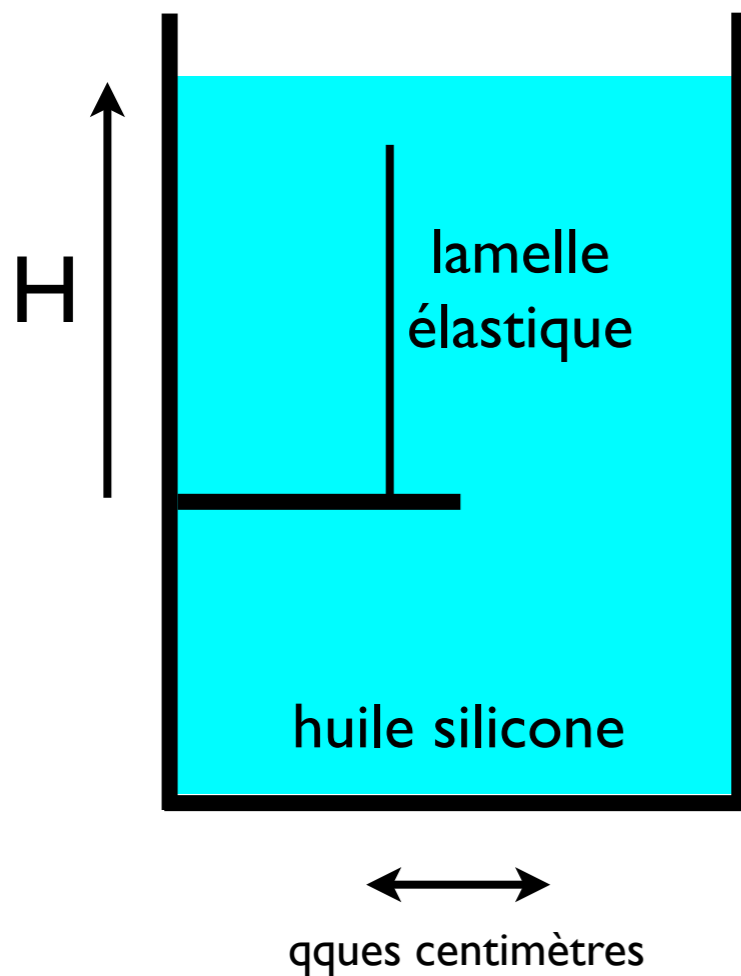
Nicolas Clauvelin (UPMC Univ Paris 6)

Basile Audoly (CNRS & UPMC Univ. Paris 6)



# Elasto-capillarité : poils perçants

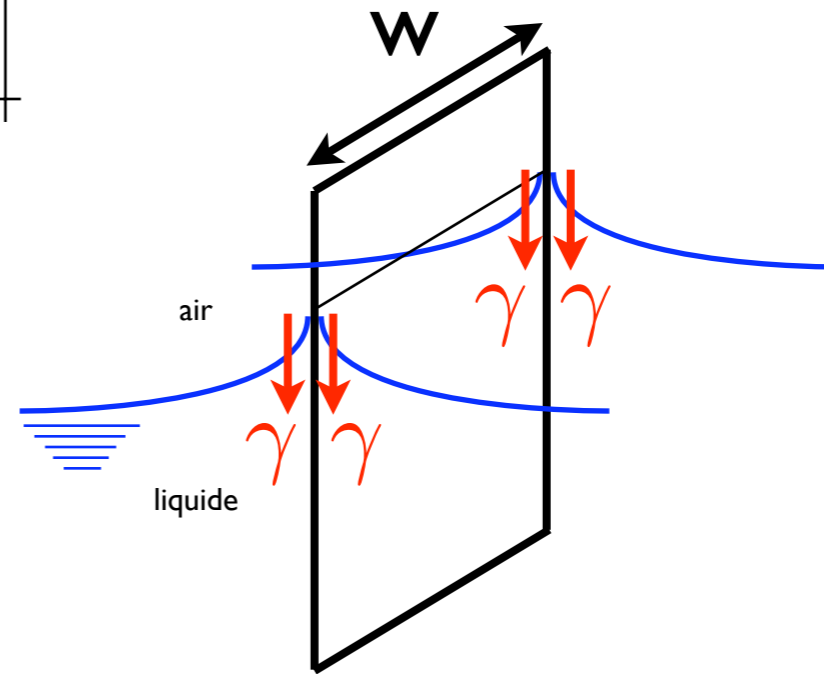
dispositif expérimental



lamelle en polyester :  
mouillage parfait avec l'huile

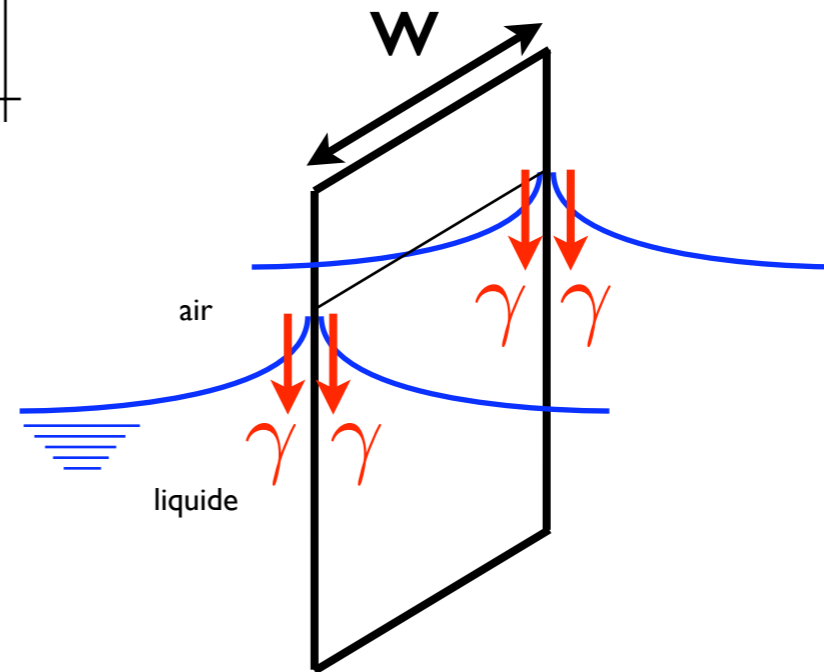
# Tension de surface

$$F_{tot} = 2 \gamma w$$

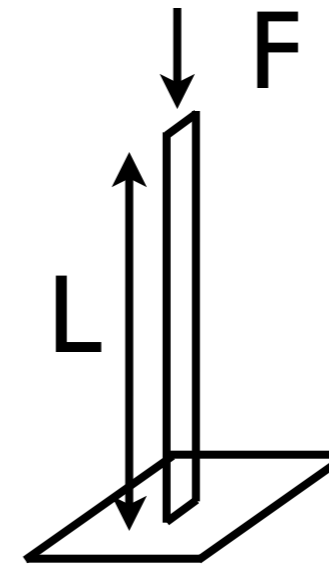


# Tension de surface

$$F_{tot} = 2 \gamma w$$

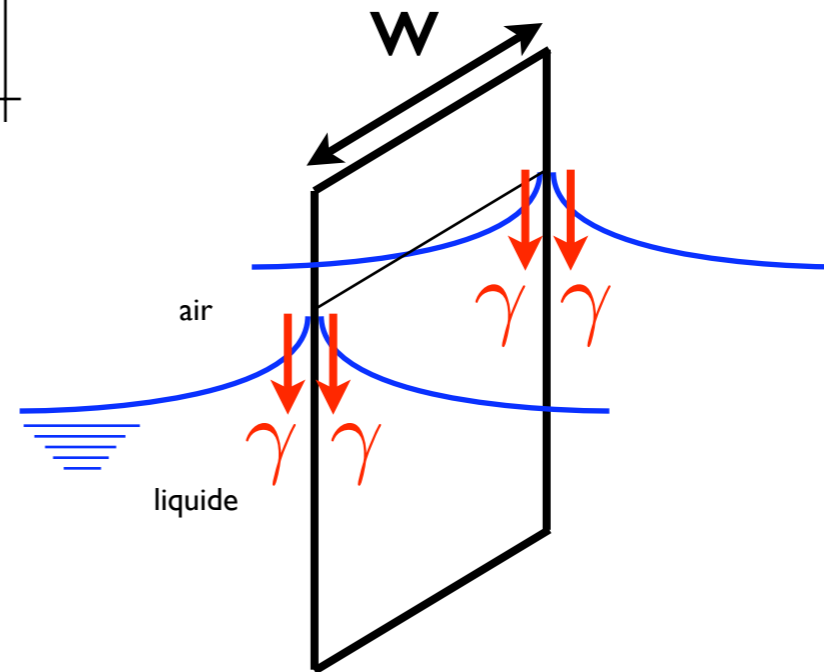


$$F_{euler} = \left(\frac{\pi}{2}\right)^2 \frac{EI}{L^2}$$

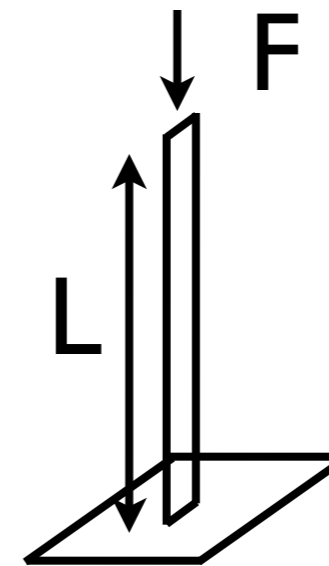


# Tension de surface

$$F_{tot} = 2 \gamma w$$



$$F_{euler} = \left(\frac{\pi}{2}\right)^2 \frac{EI}{L^2}$$

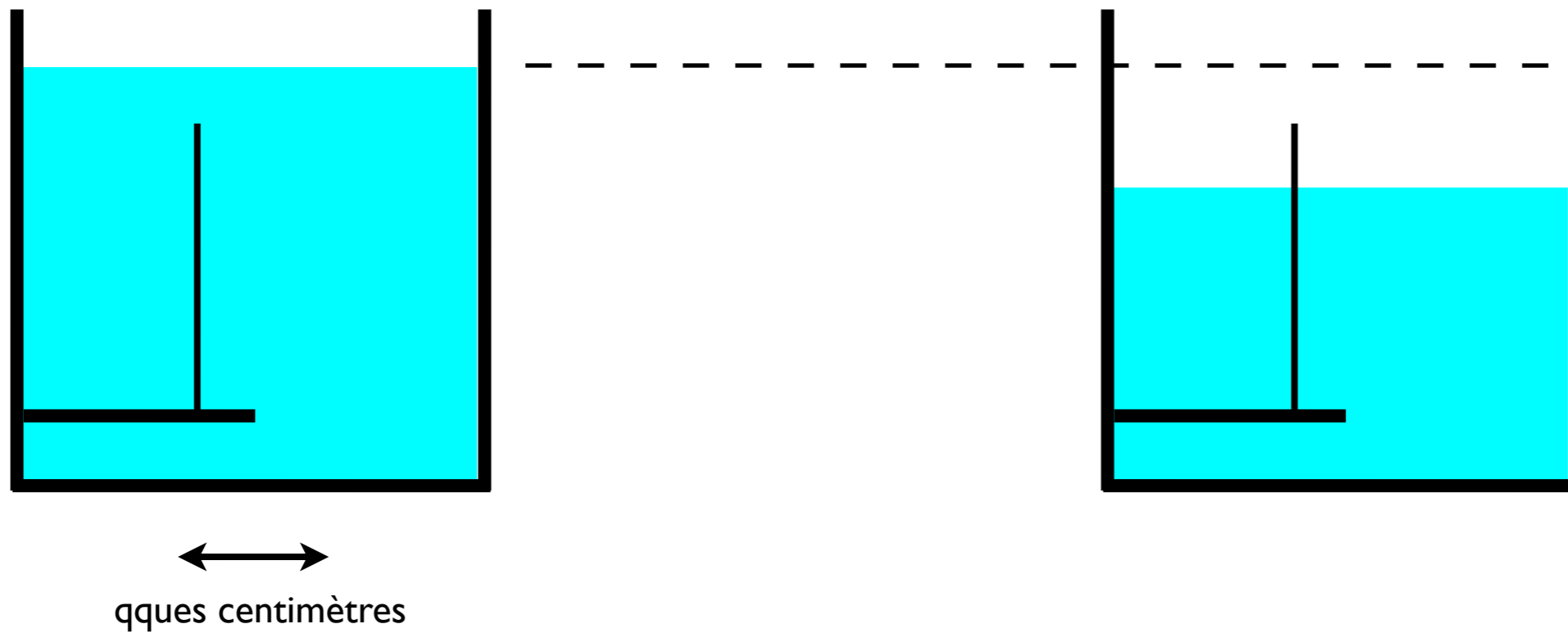


longueur critique  $L_b = \frac{\pi}{2\sqrt{2}} \sqrt{\frac{EI}{\gamma w}}$

longueur  
élasto-capillaire

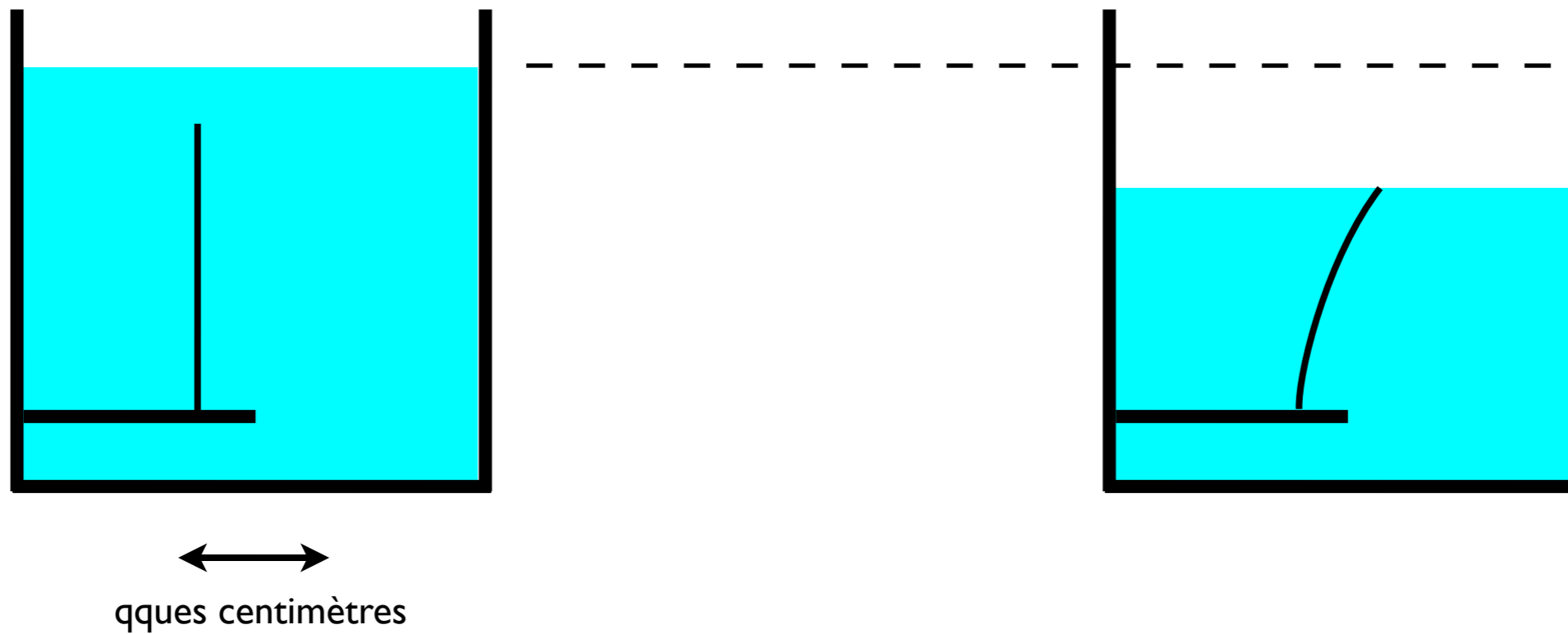
# Flambage capillaire

lamelle courte  $L < L_b$

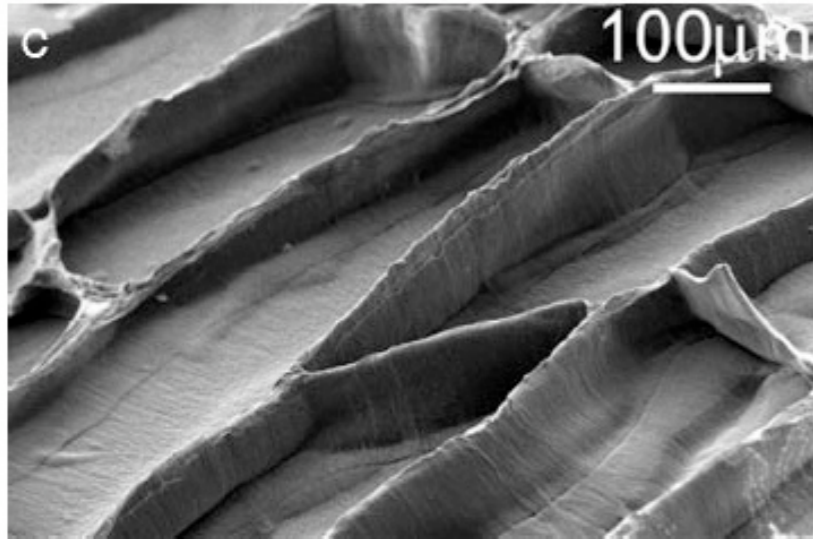


# Flambage capillaire

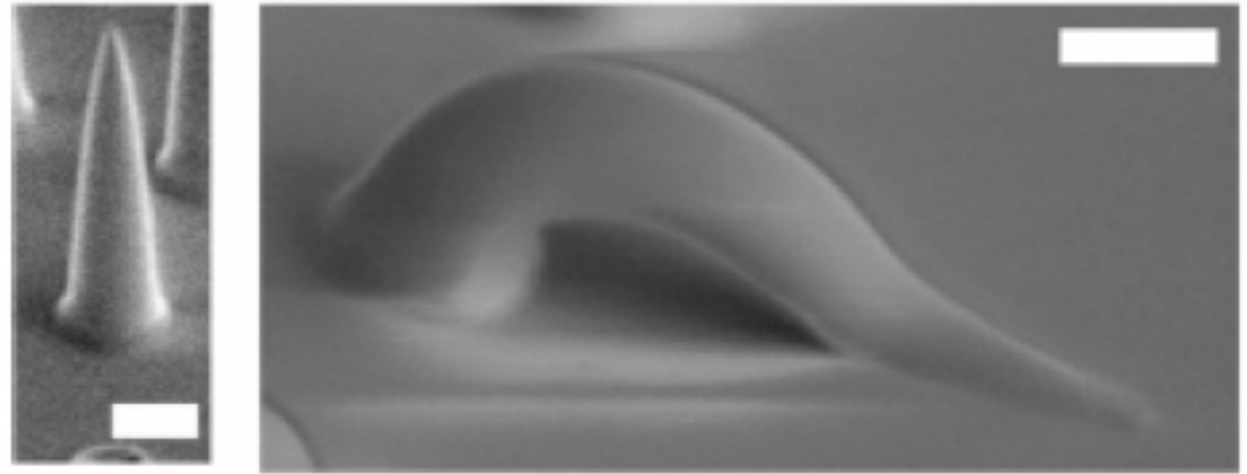
lamelle longue  $L > L_b$



# Sur le même sujet



nanotubes de carbone après évaporation  
N. Chakrapani et al - Nature (2004)



plot de PDMS plié par ethanol  
P. Roca-Cusachs et al - Langmuir (2005)

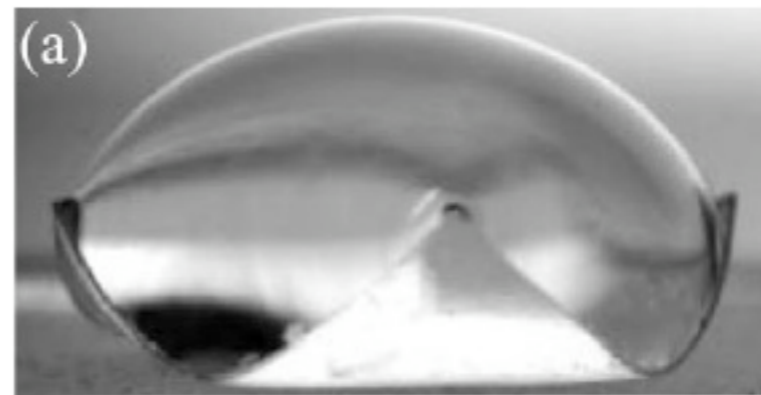


J. Bico et al - Nature  
(2004)

agglomération de fibres élastique  
et remonté capillaire

C. Py et al - Phys. Rev. Let. (2007)

pliage d'une plaque élastique par capillarité





# Modélisation

- pesanteur
- Archimède
- Laplace

$$N'_x = -P_x$$

$$N'_z = -P_z$$

$$M'_y = N_z \sin \theta - N_x \cos \theta$$

$$X' = \sin \theta$$

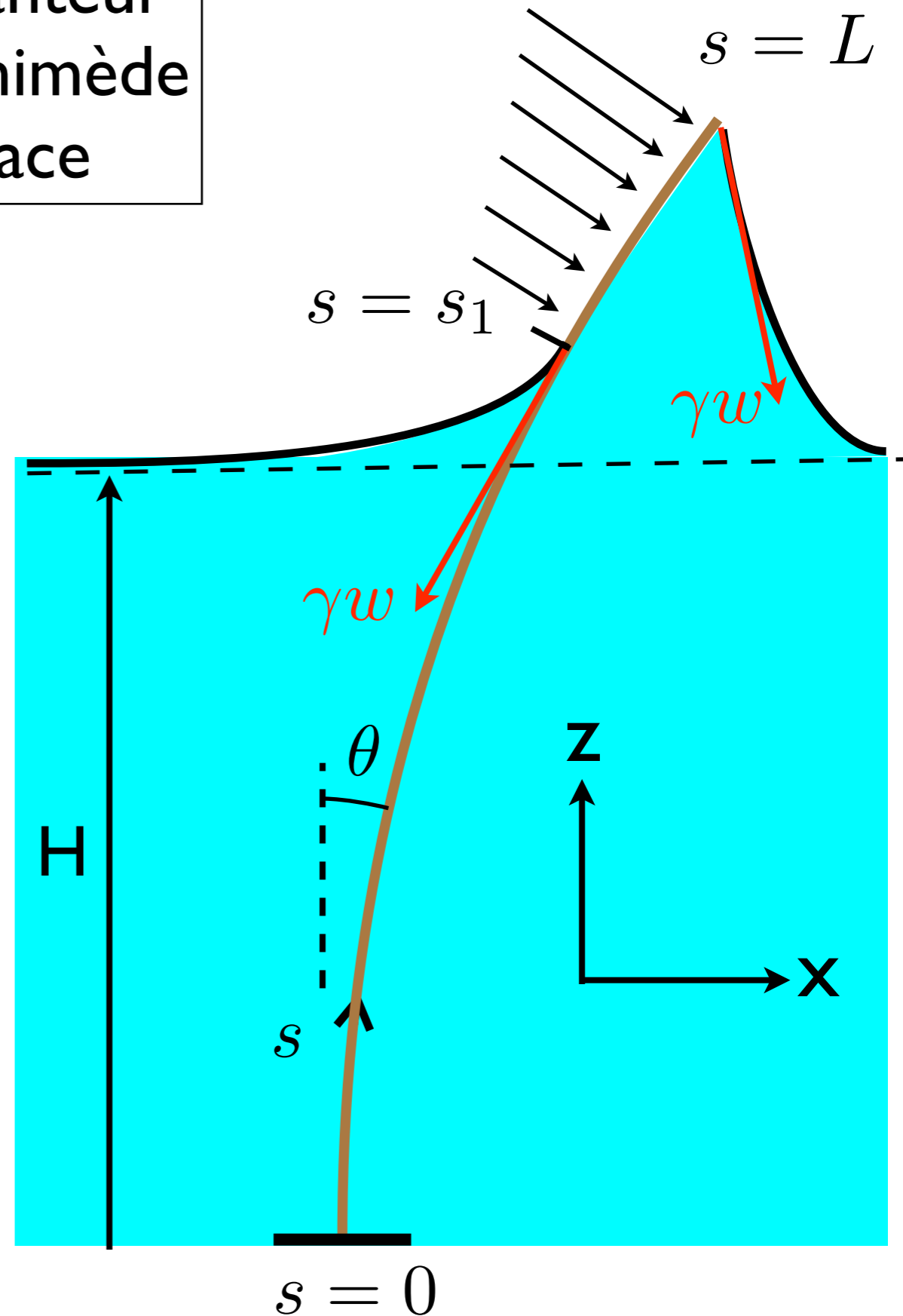
$$Z' = \cos \theta$$

$$\theta' = M_y / (EI)$$

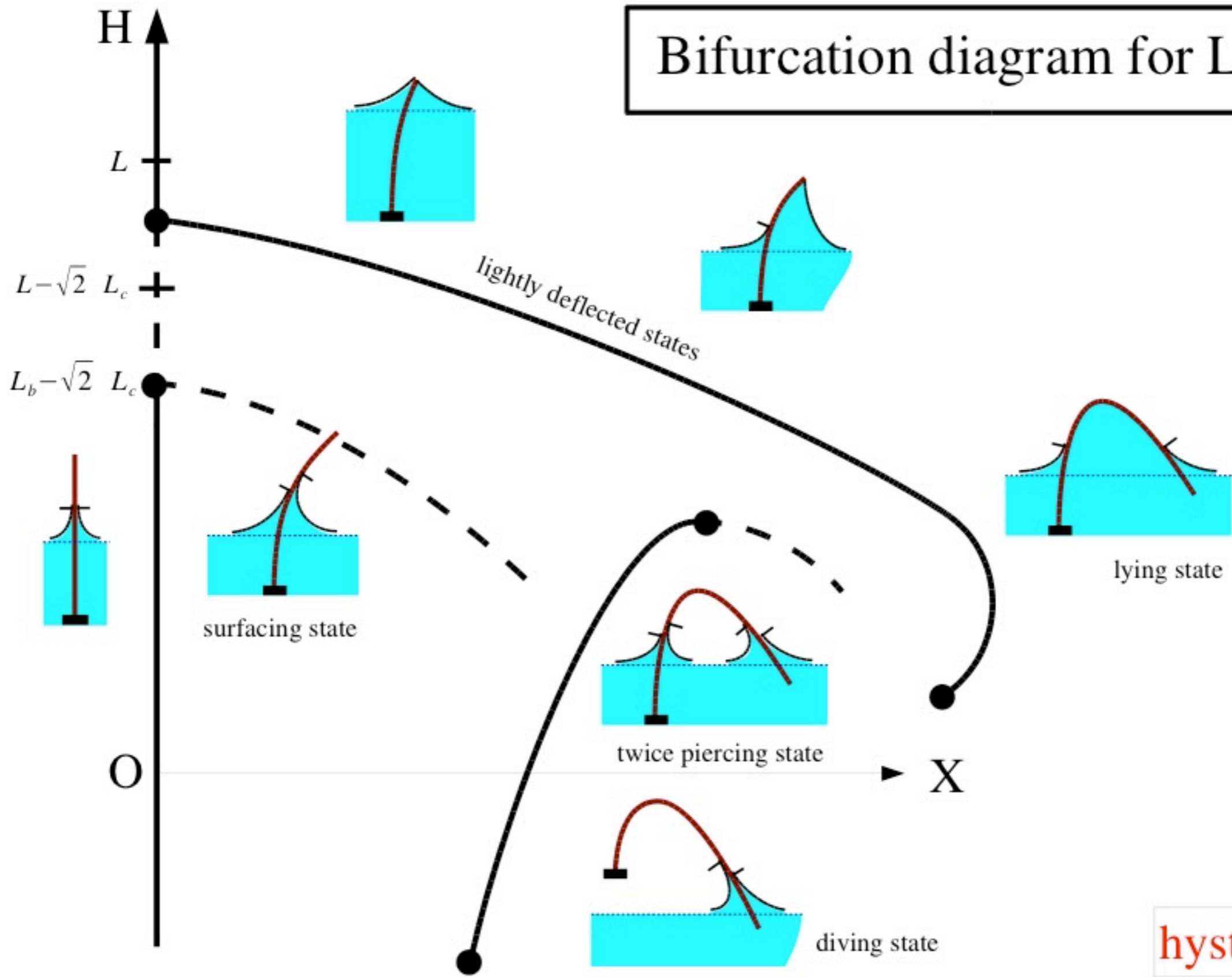
$$' \equiv \frac{d}{ds}$$

- équations de Kirchhoff
- sauts de force aux ménisques
- conditions aux bords

- suivi de courbes : AUTO 94



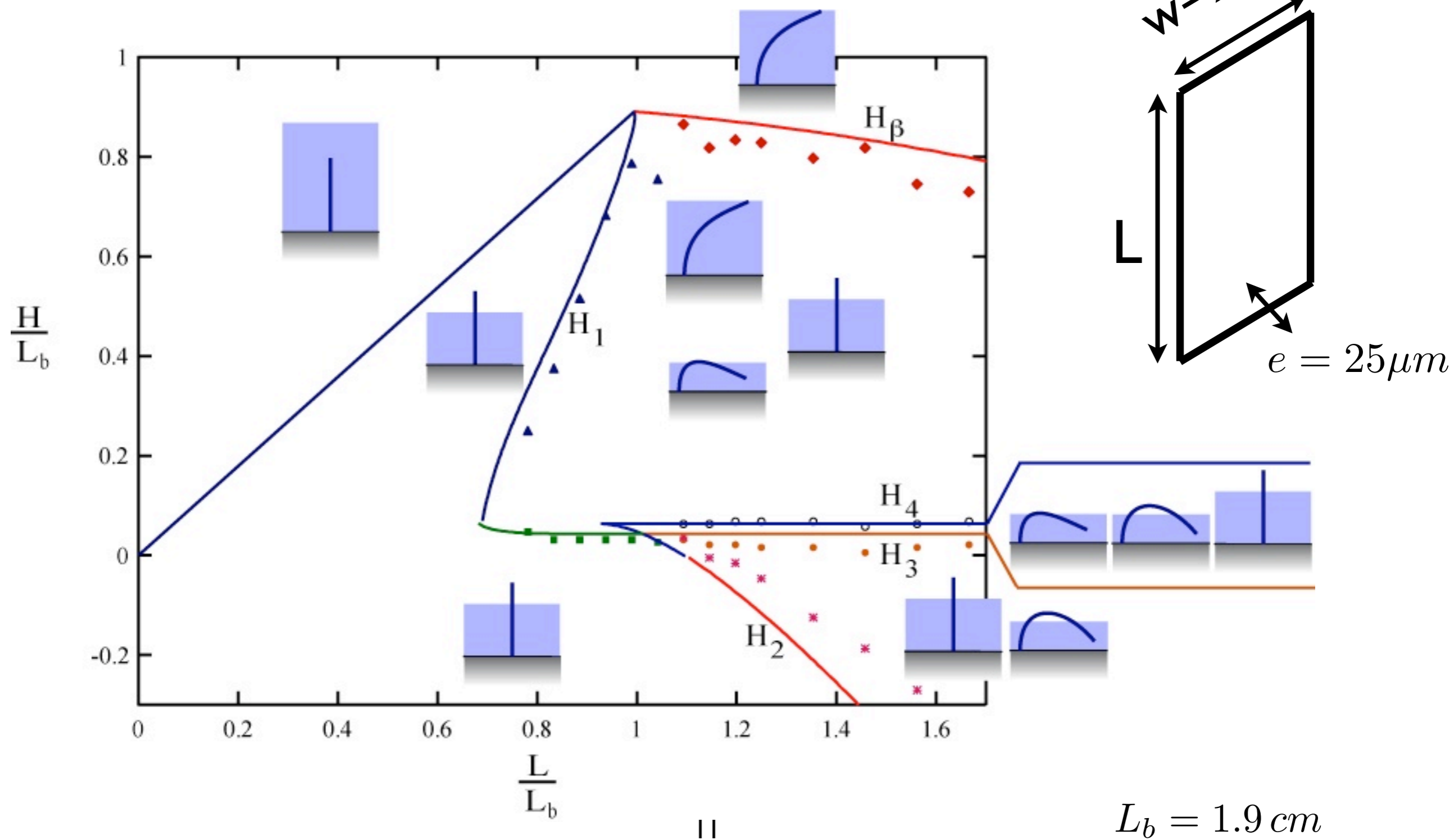
# Bifurcation diagram for $L > L_b$



hysteresis

# Comparaison théorie/expériences

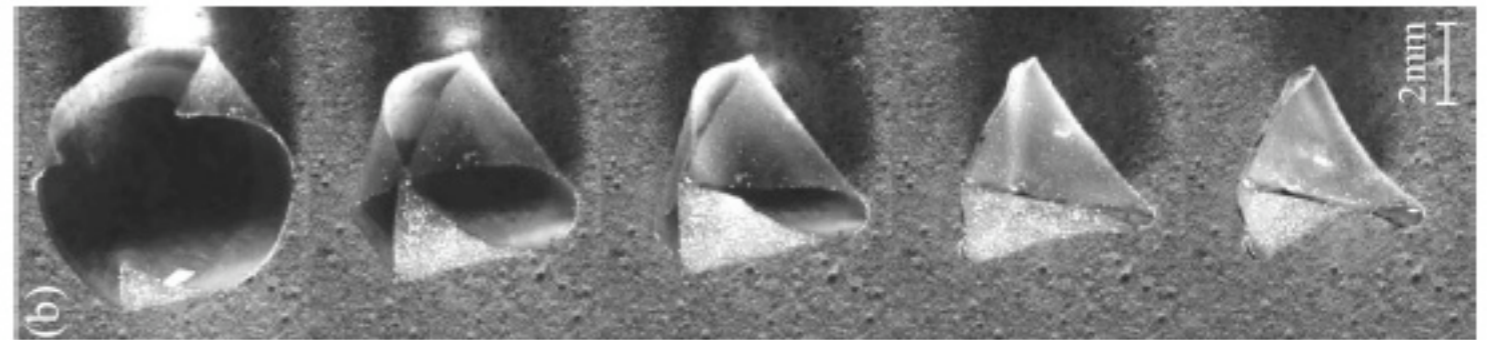
lamelle polyester



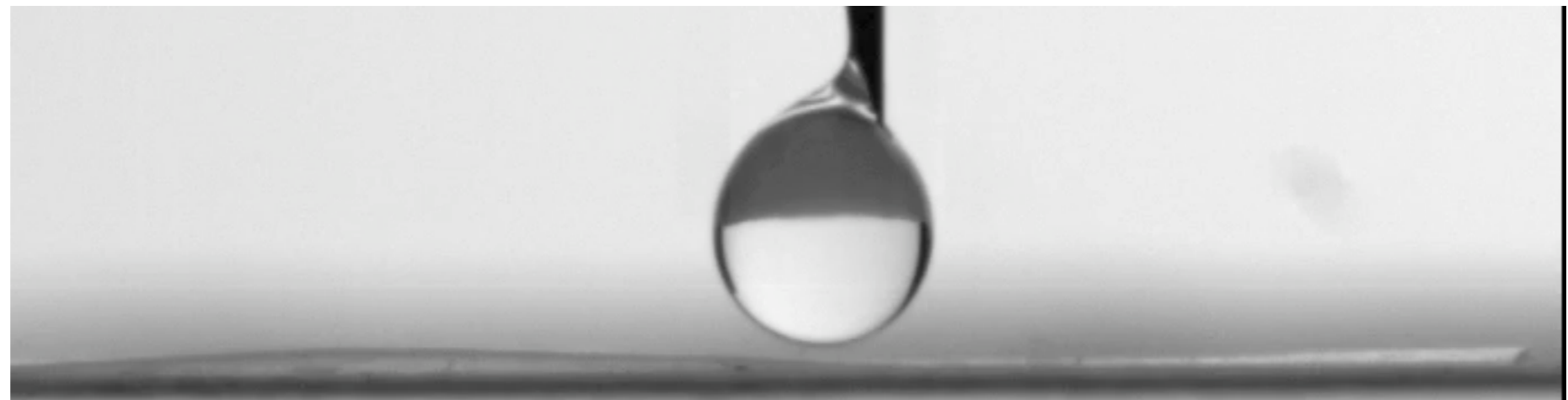
# Origami capillaire

statique

Py et al  
Capillary origami  
Phys. Rev. Lett. 2007

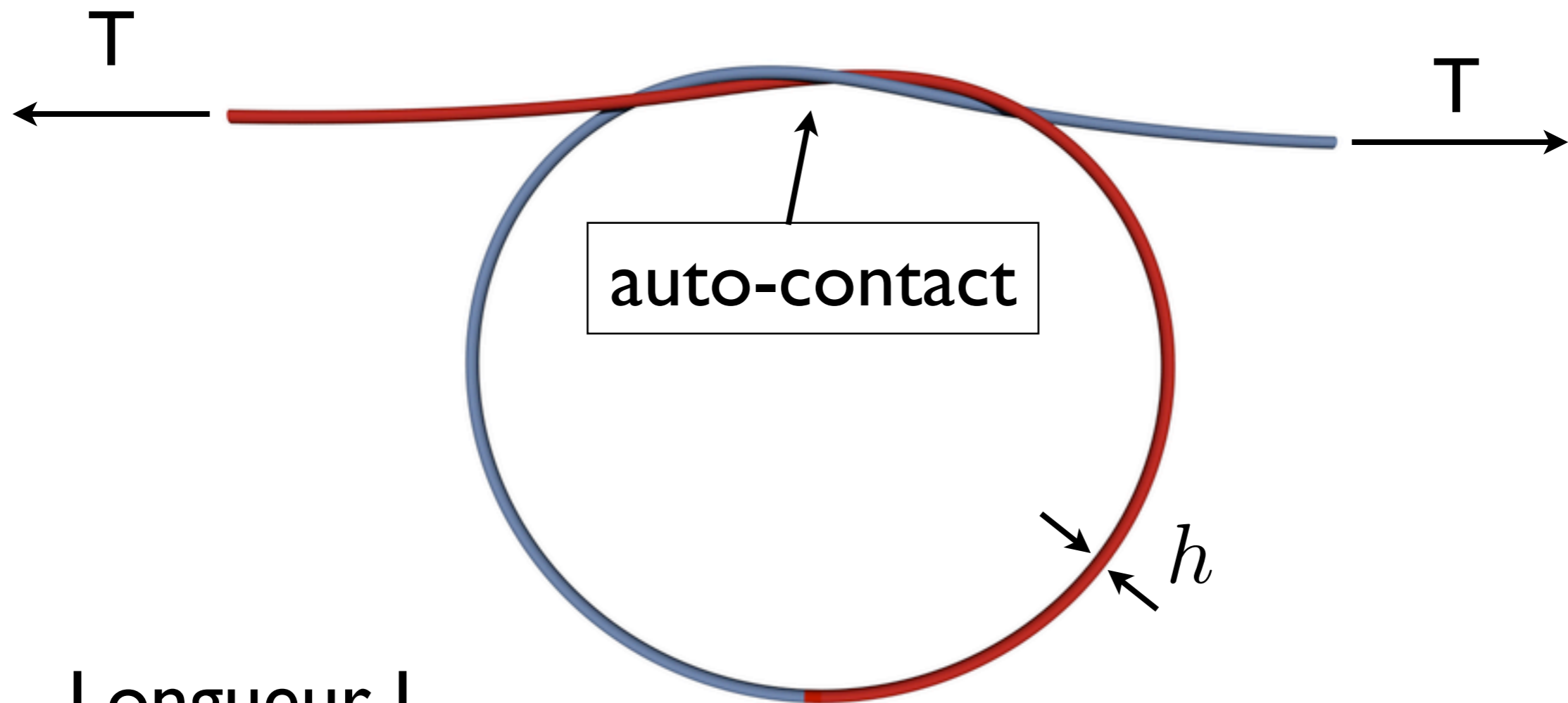


dynamique



M. Rivetti  
A. Antkowiak

# Noeuds élastiques



- Longueur  $L$
- Section circulaire de rayon  $h$
- Rigidité de flexion :  $E I$
- Rigidité de torsion :  $G J$

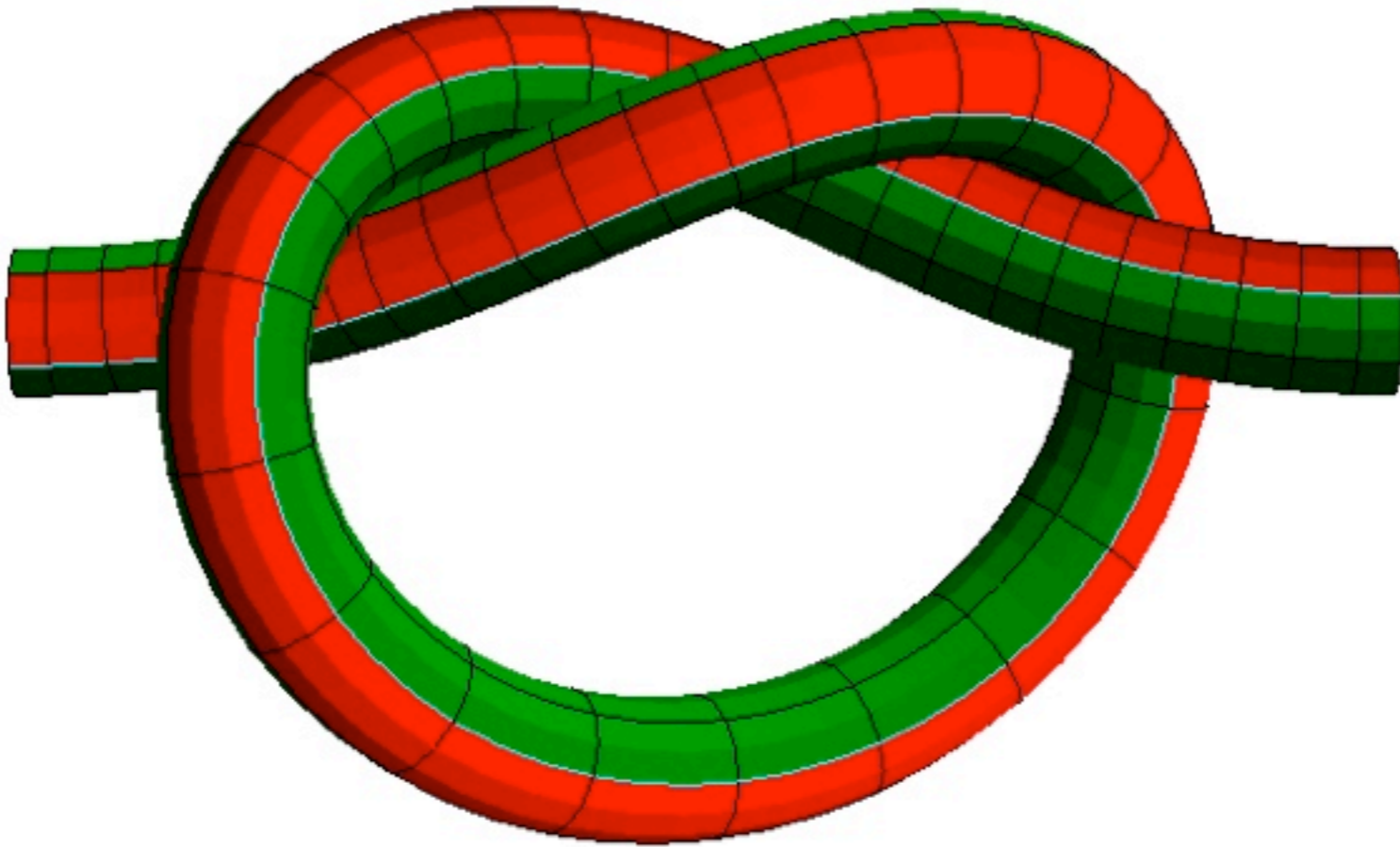
$$I = \frac{\pi h^4}{4}$$

$$J = \frac{\pi h^4}{2}$$

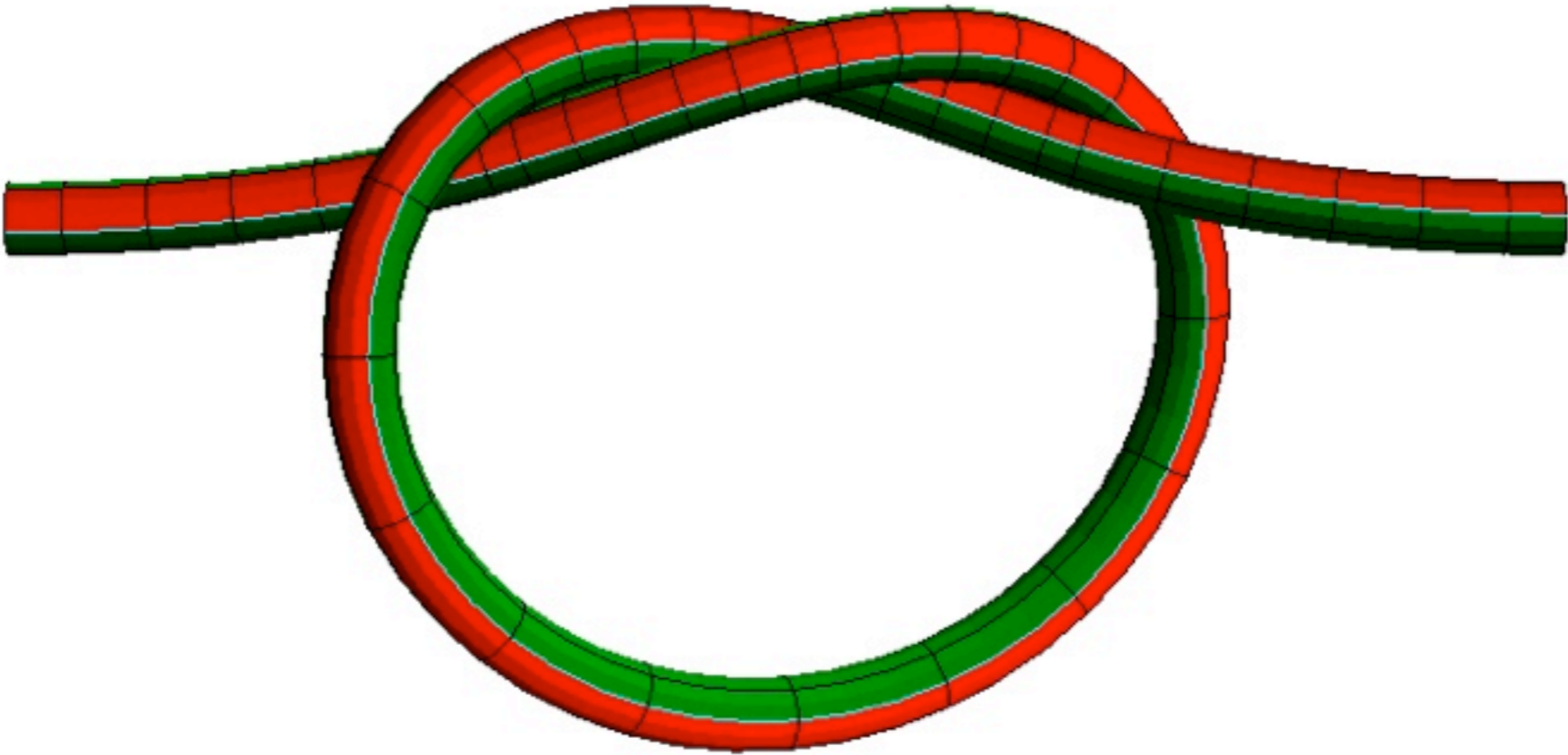
$E$  : module d'Young

$G$  : module de cisaillement

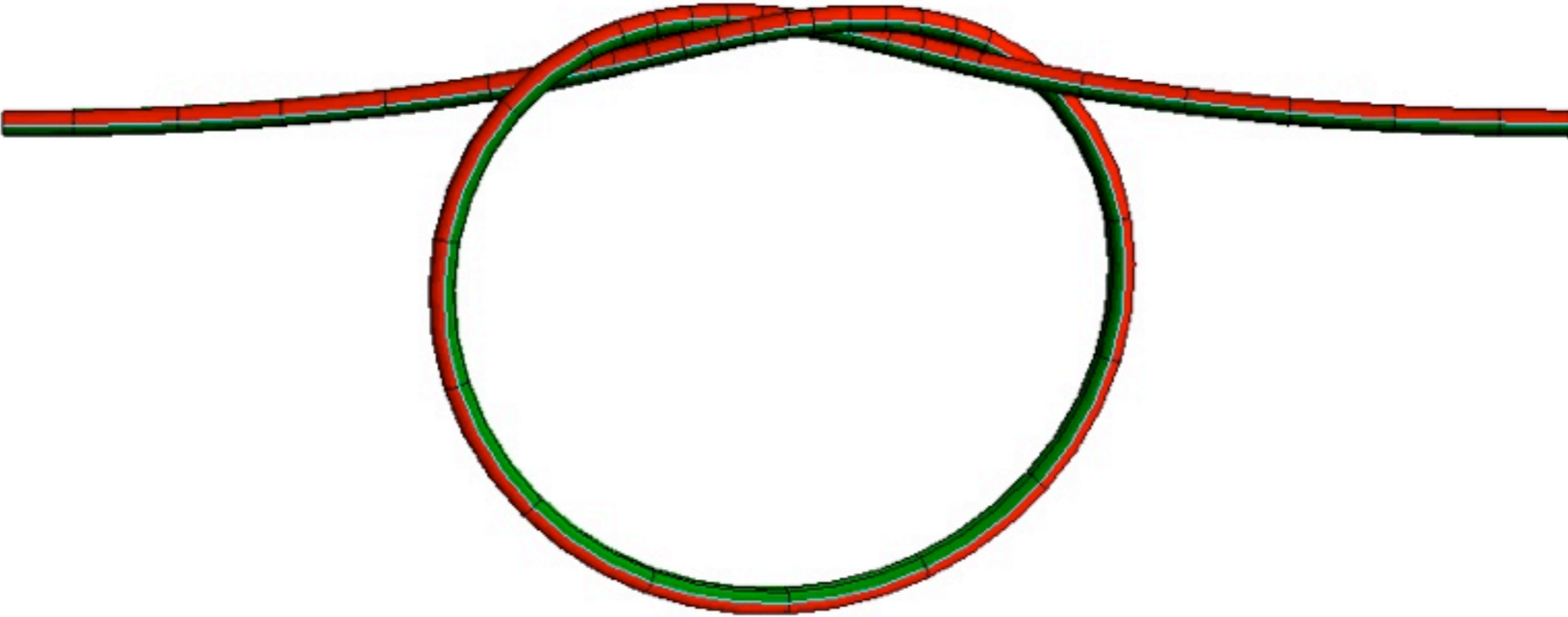
# Making the rod thinner



# Making the rod thinner

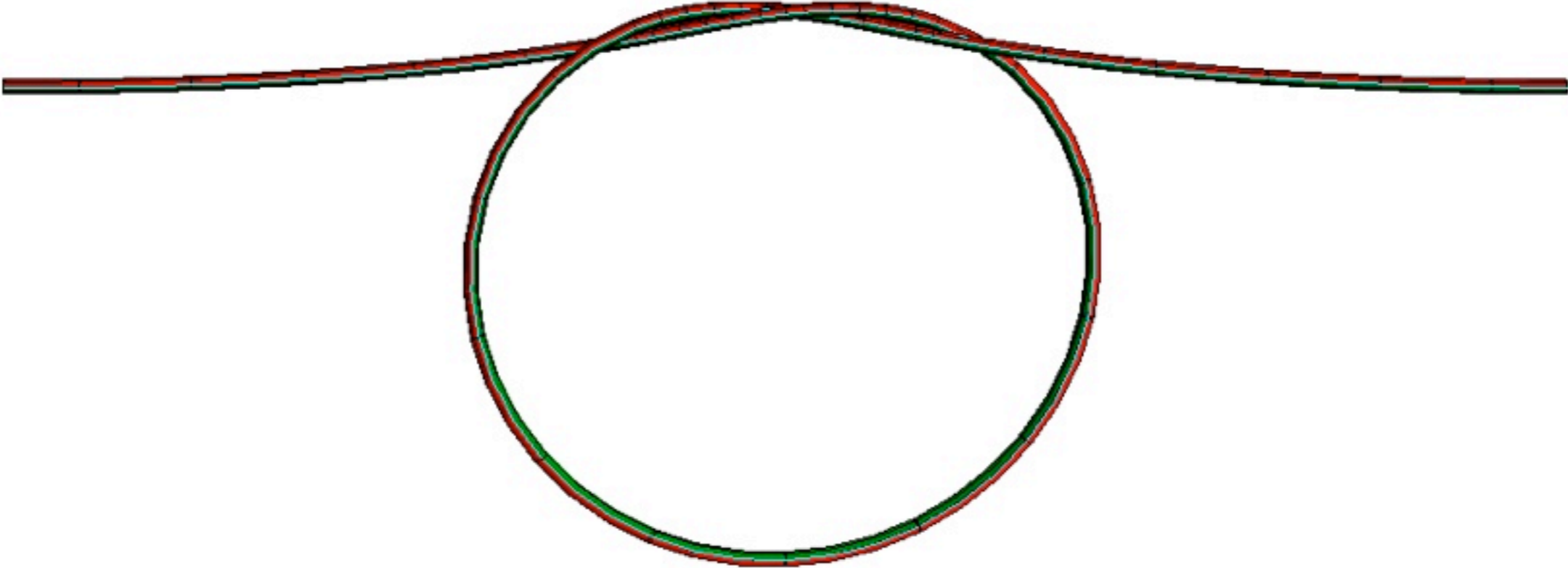


# Making the rod thinner

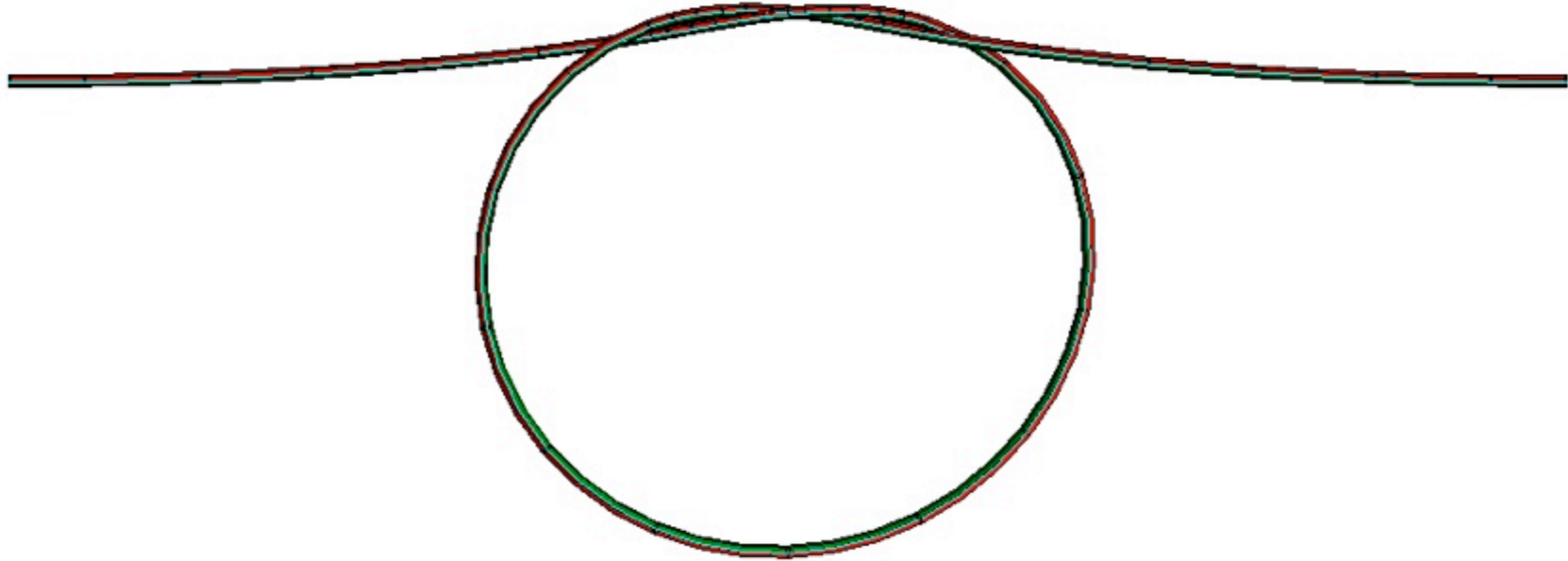




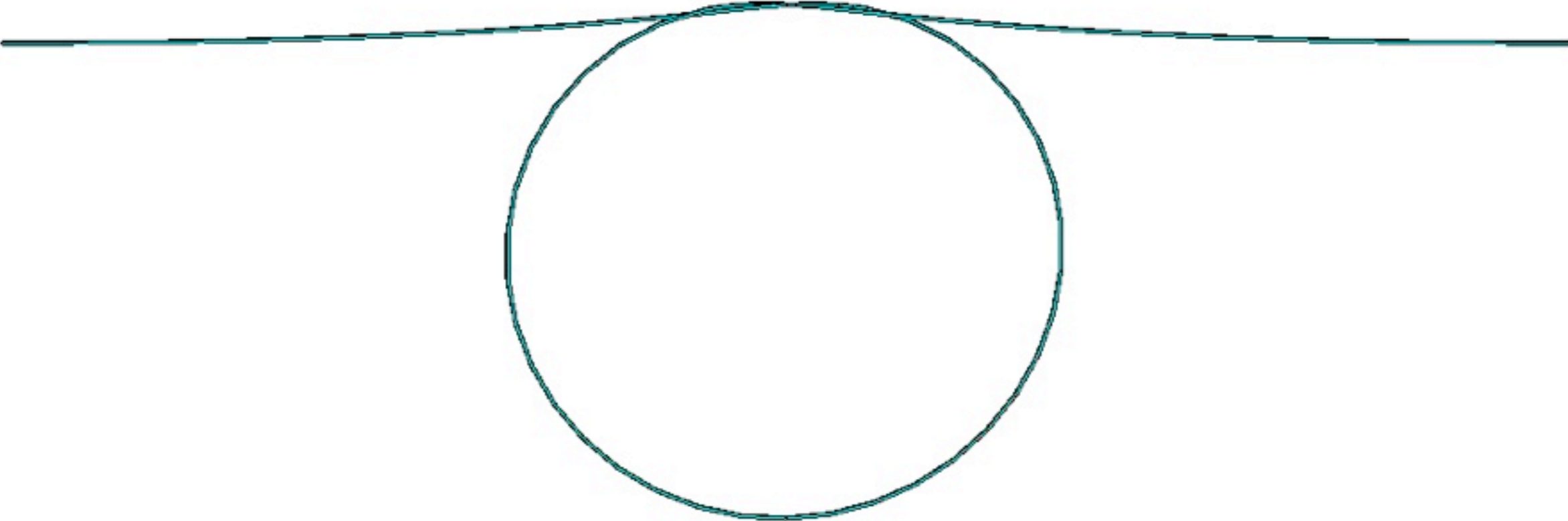
# Making the rod thinner



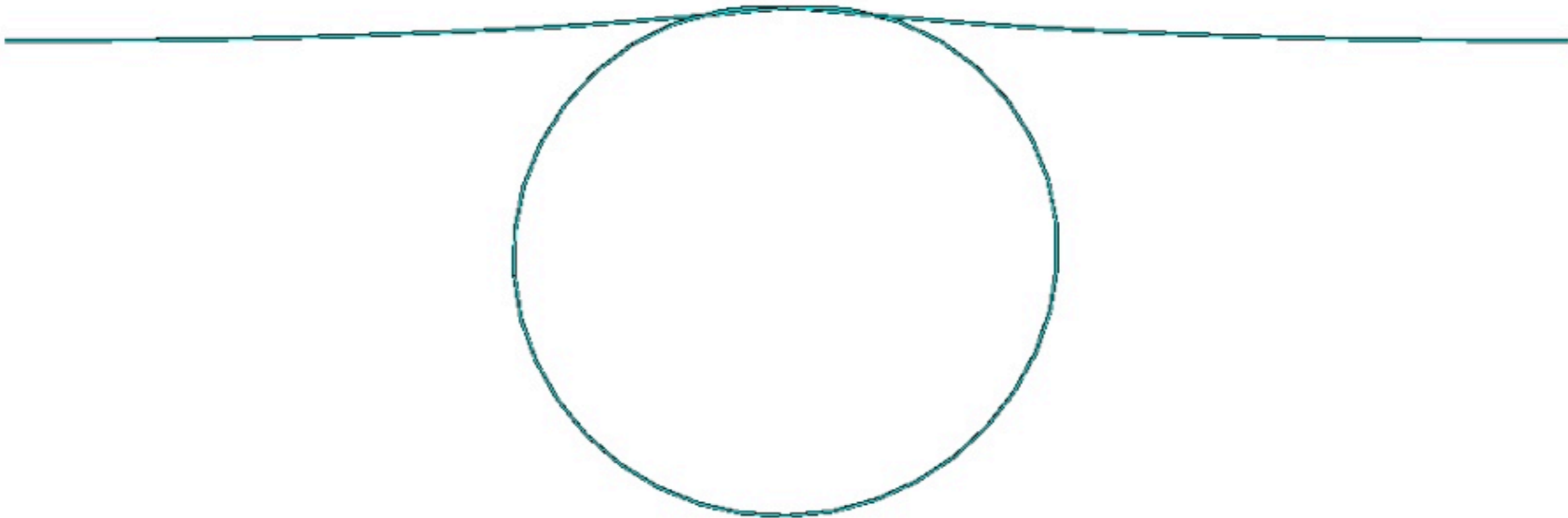
# Making the rod thinner



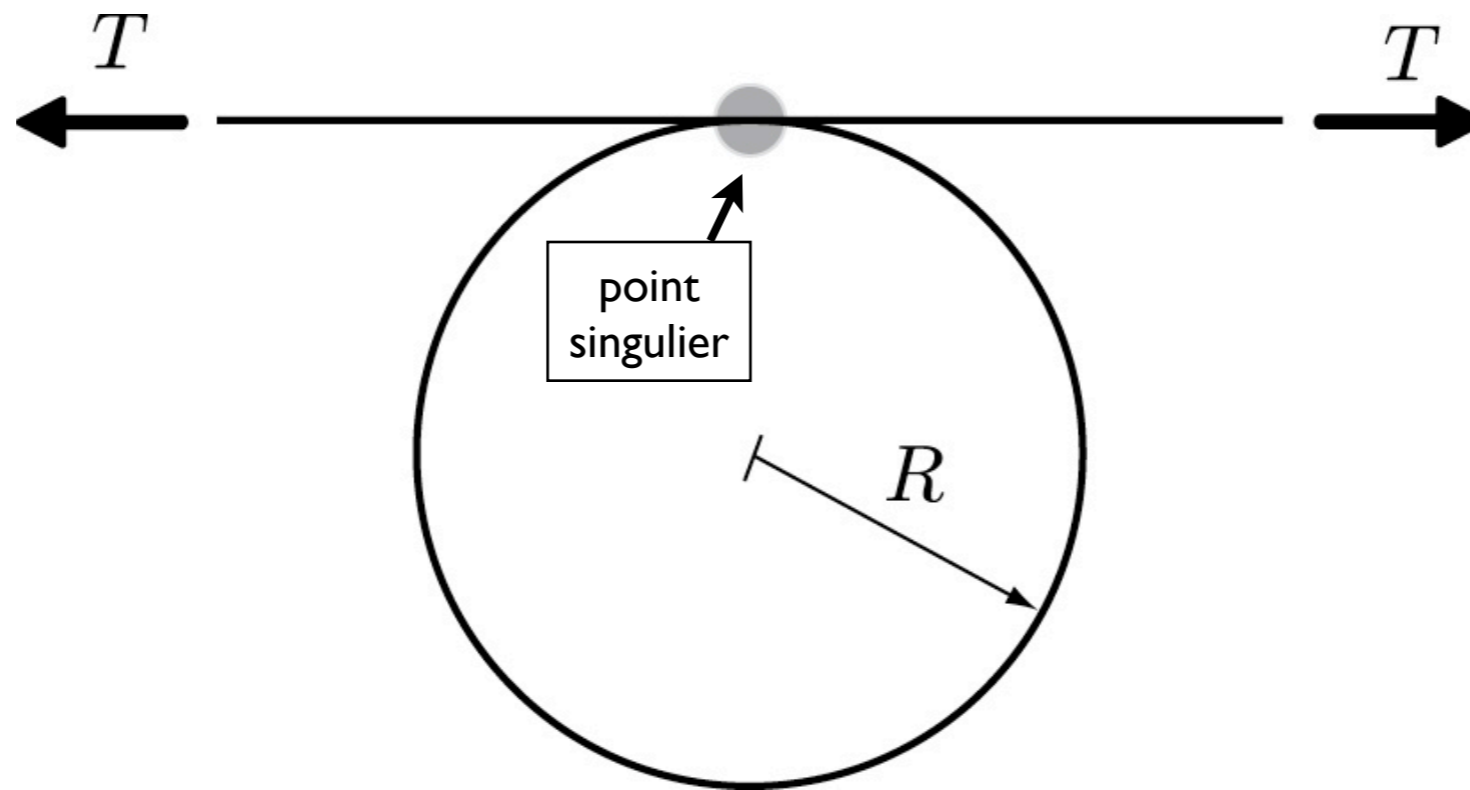
# Making the rod thinner



# Making the rod thinner

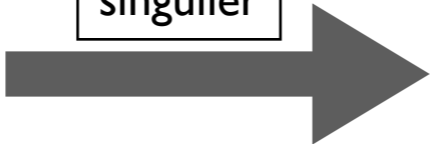


# Limite d'épaisseur nulle



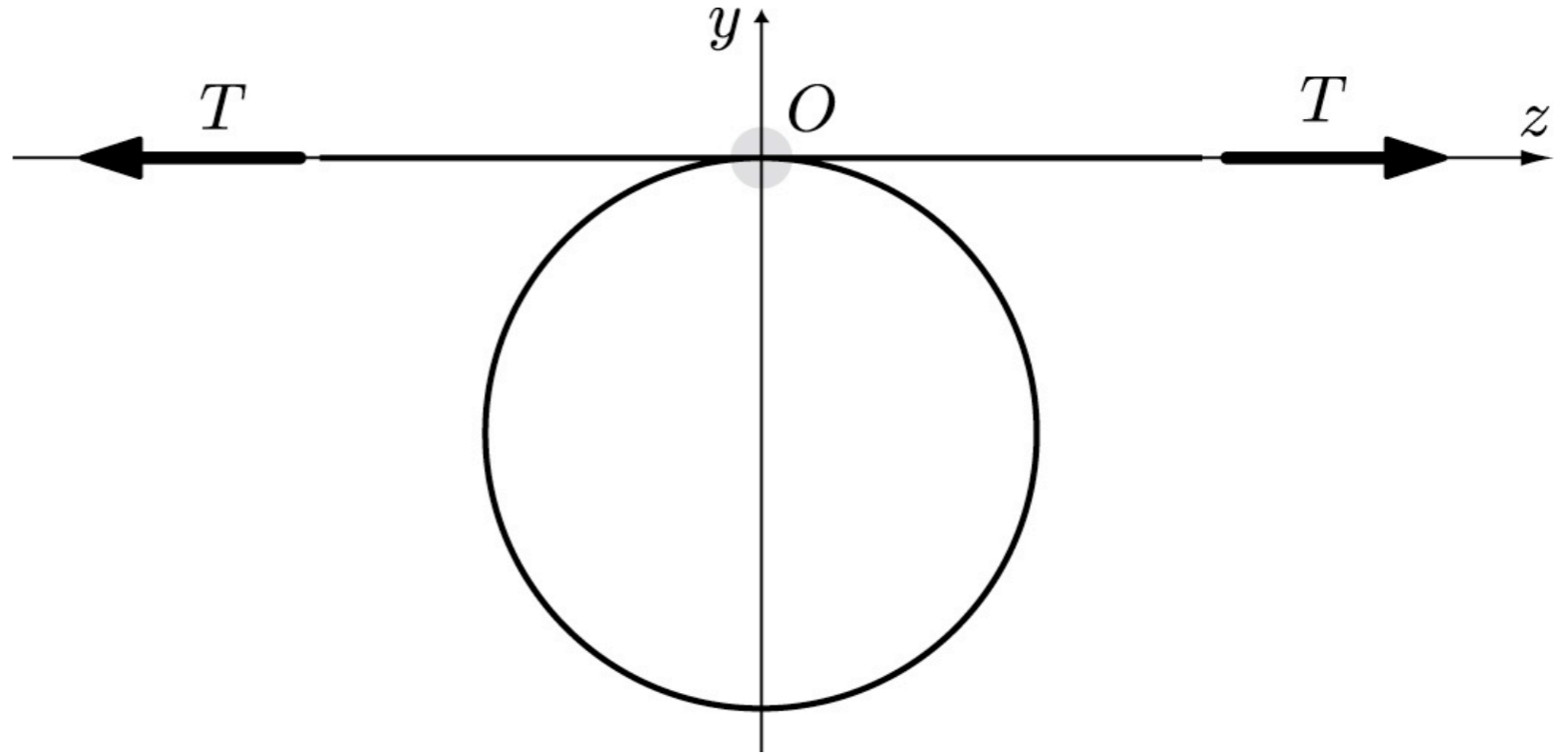
équilibre :  $T = \frac{EI}{2R^2}$

Arai et al (1999)

tension  $T$  point singulier  courbure  $\frac{1}{R}$

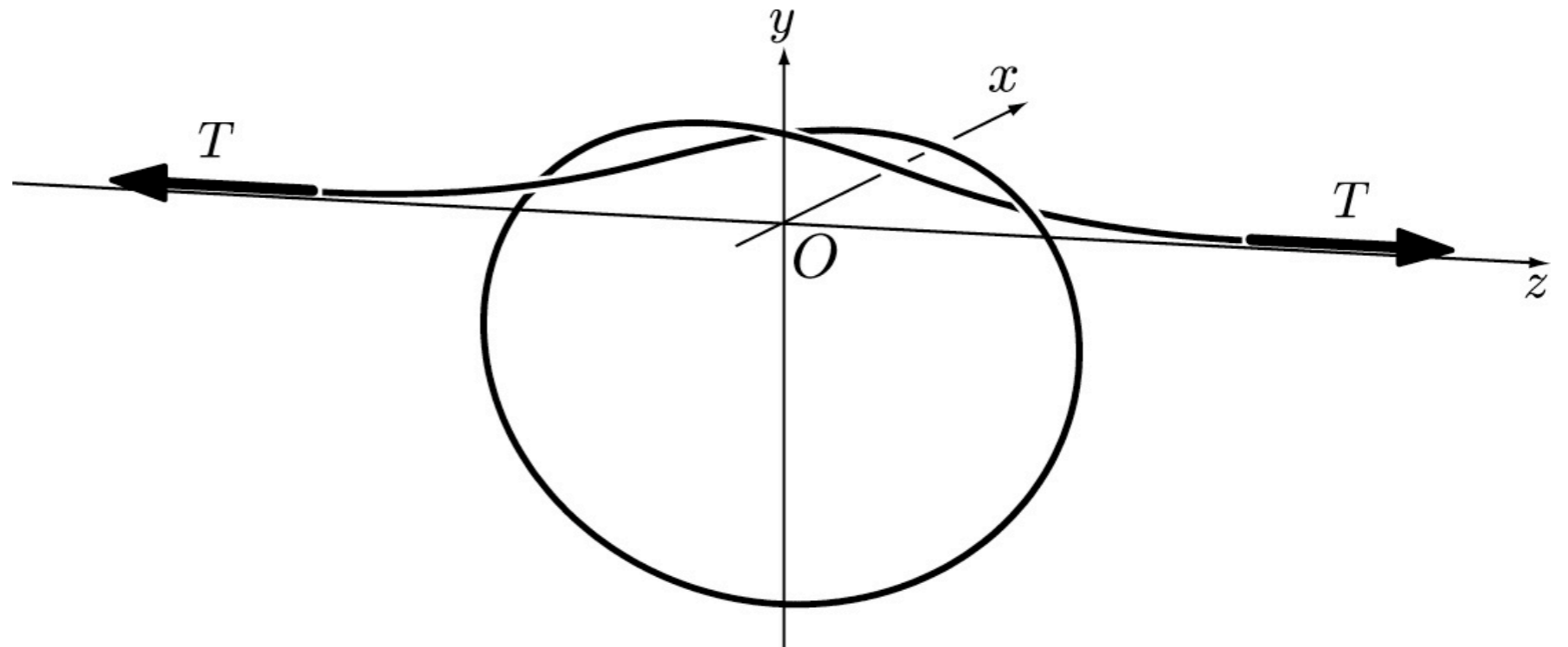
# Faible épaisseur

$$\epsilon = 0$$
$$h = 0$$

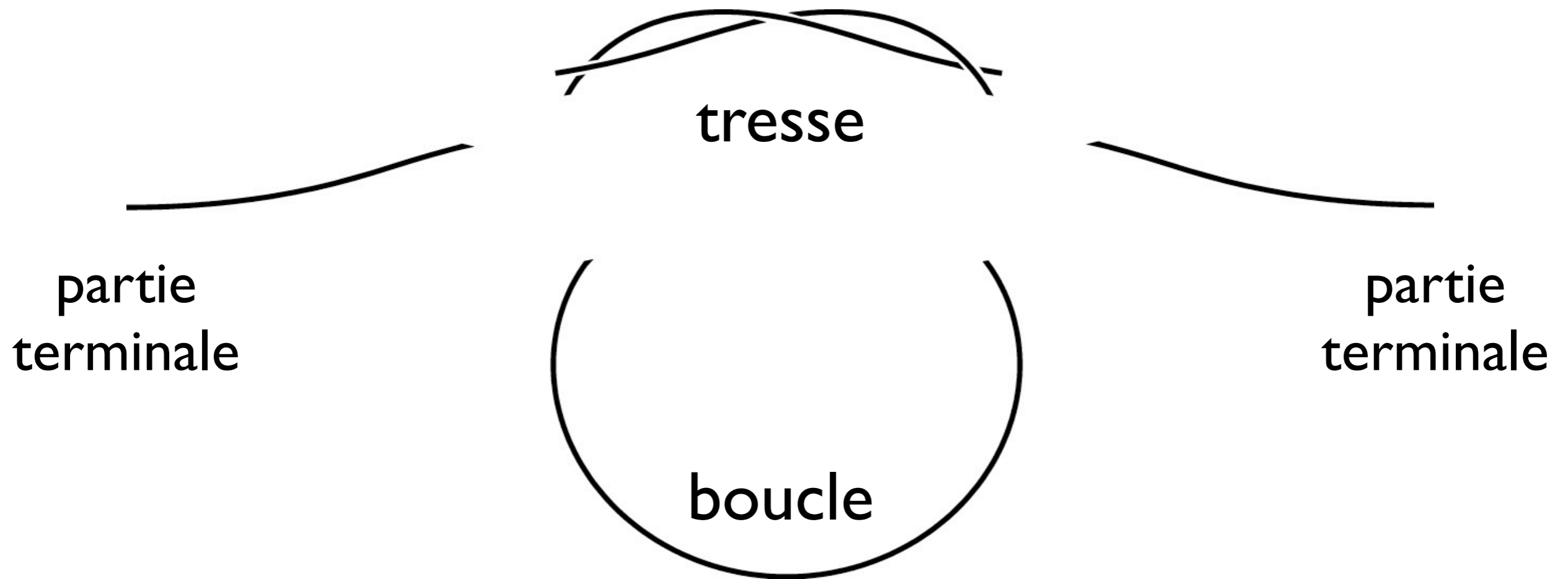


petit paramètre

$$\epsilon = \left( \frac{2h^2 T}{EI} \right)^{1/4} \ll 1$$



# Dévelop. asymptotiques raccordés



petit paramètre :  $\epsilon = \left( \frac{2h^2 T}{EI} \right)^{1/4} \ll 1$

# Equations de Kirchhoff

$\vec{p}(s)$  pression ext.

$\vec{N}(s)$  force interne

$\vec{M}(s)$  moment interne

$\vec{R}(s)$  position

$\vec{t}(s)$  tangente

$$\vec{N}' = -\vec{p}$$

$$\vec{M}' = \vec{N} \times \vec{t}$$

$$\vec{R}' = \vec{t}$$

$$\vec{t}' = \frac{1}{EI} \vec{M} \times \vec{t}$$

équil. forces

équil. moments

déf. tangente

déformation

loi de comportement :

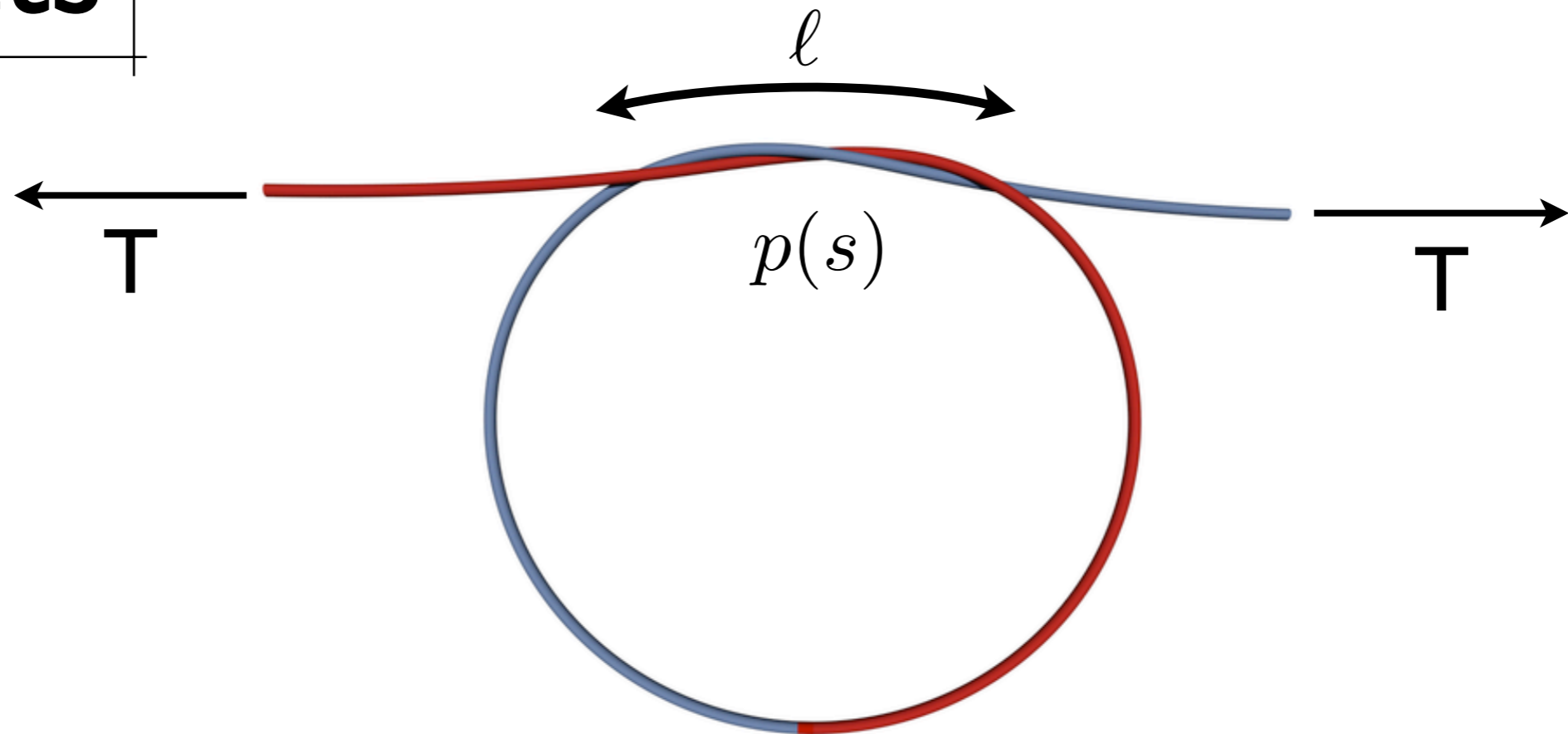
$$M_{\kappa} = EI \kappa \quad \text{flexion } \kappa$$

$$M_{\tau} = GJ \tau \quad \text{torsion } \tau$$

$$' \equiv \frac{d}{ds}$$



# Résultats



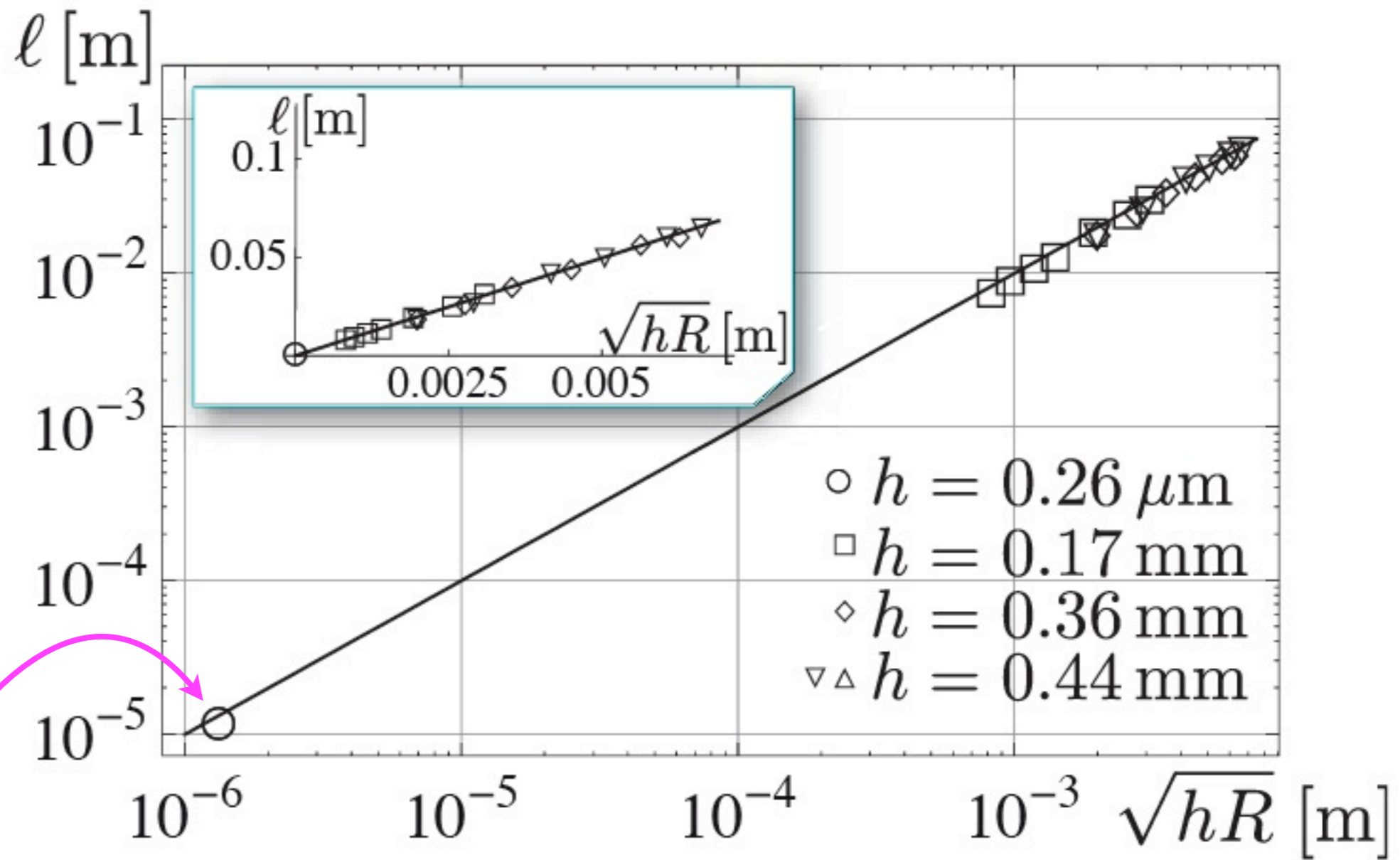
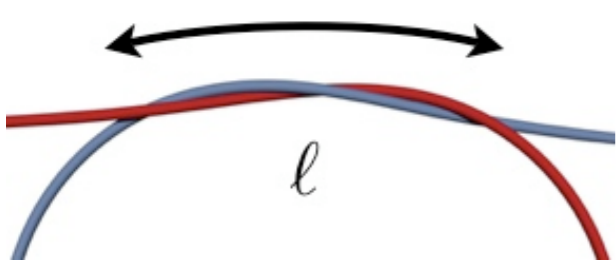
$$R = \sqrt{\frac{EI}{2T}}$$

$$l = 9.91 h^{1/2} (EI)^{1/4} T^{-1/4}$$

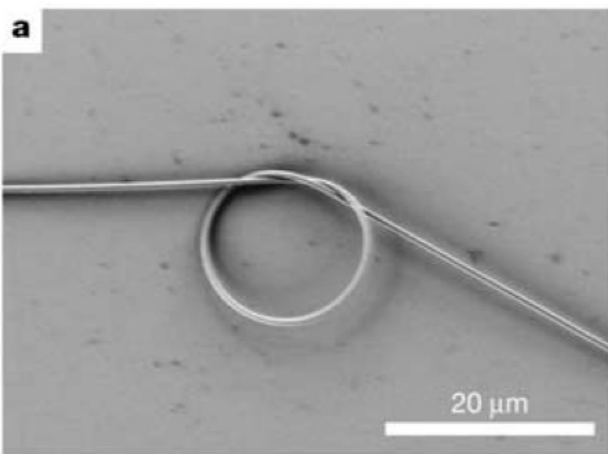
force de contact  $p(s)$

Force totale  $P = \int_0^l p(s) ds = 0.82 h^{-1/2} (EI)^{1/4} T^{3/4}$

# Expériences

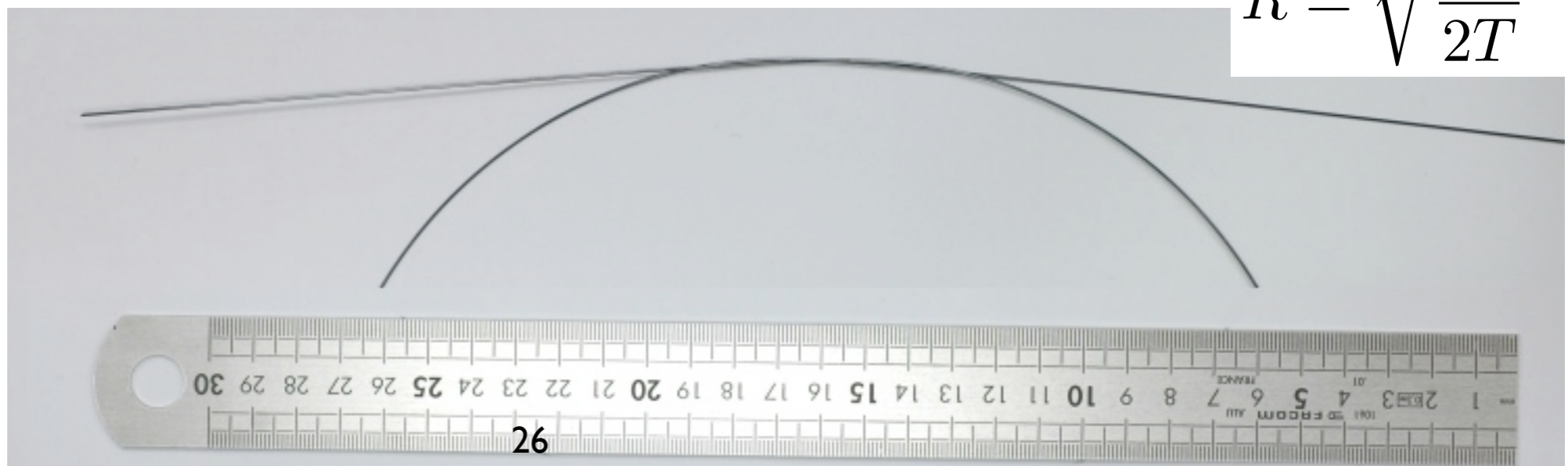


Tong et al., Nature 2003

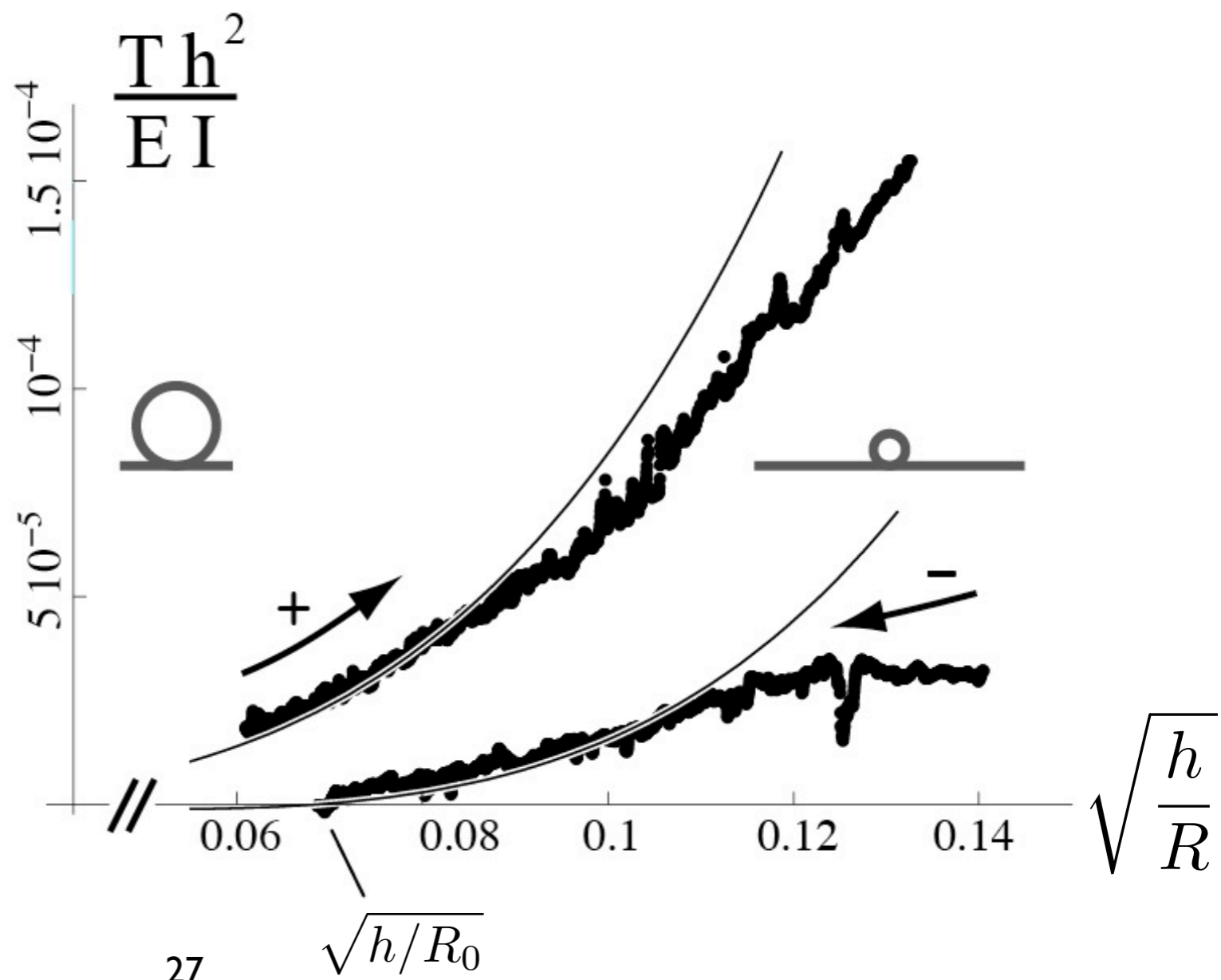
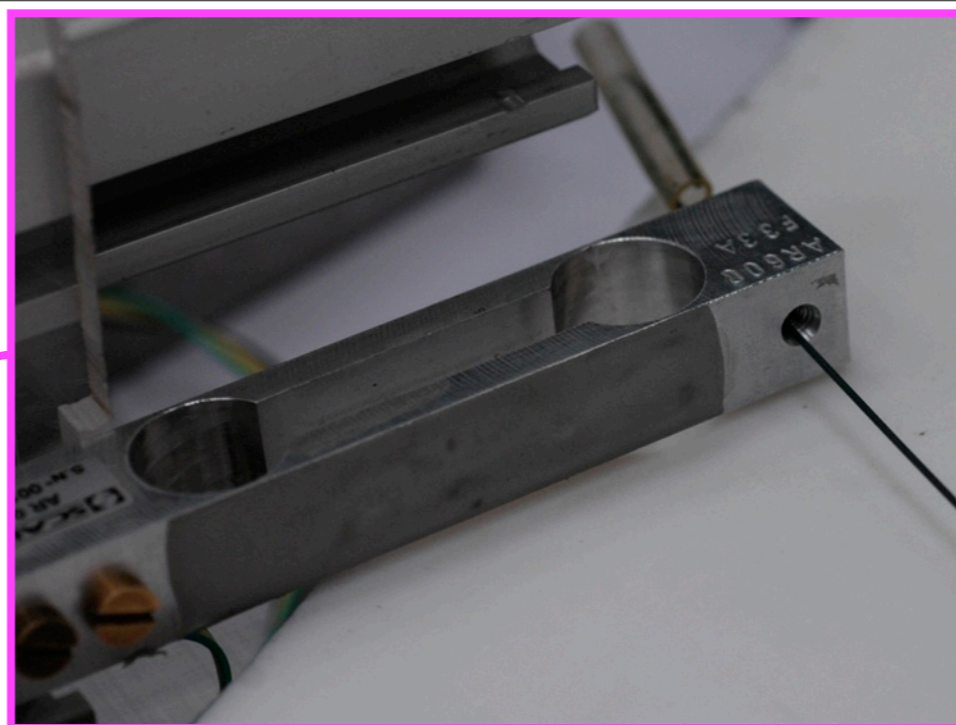
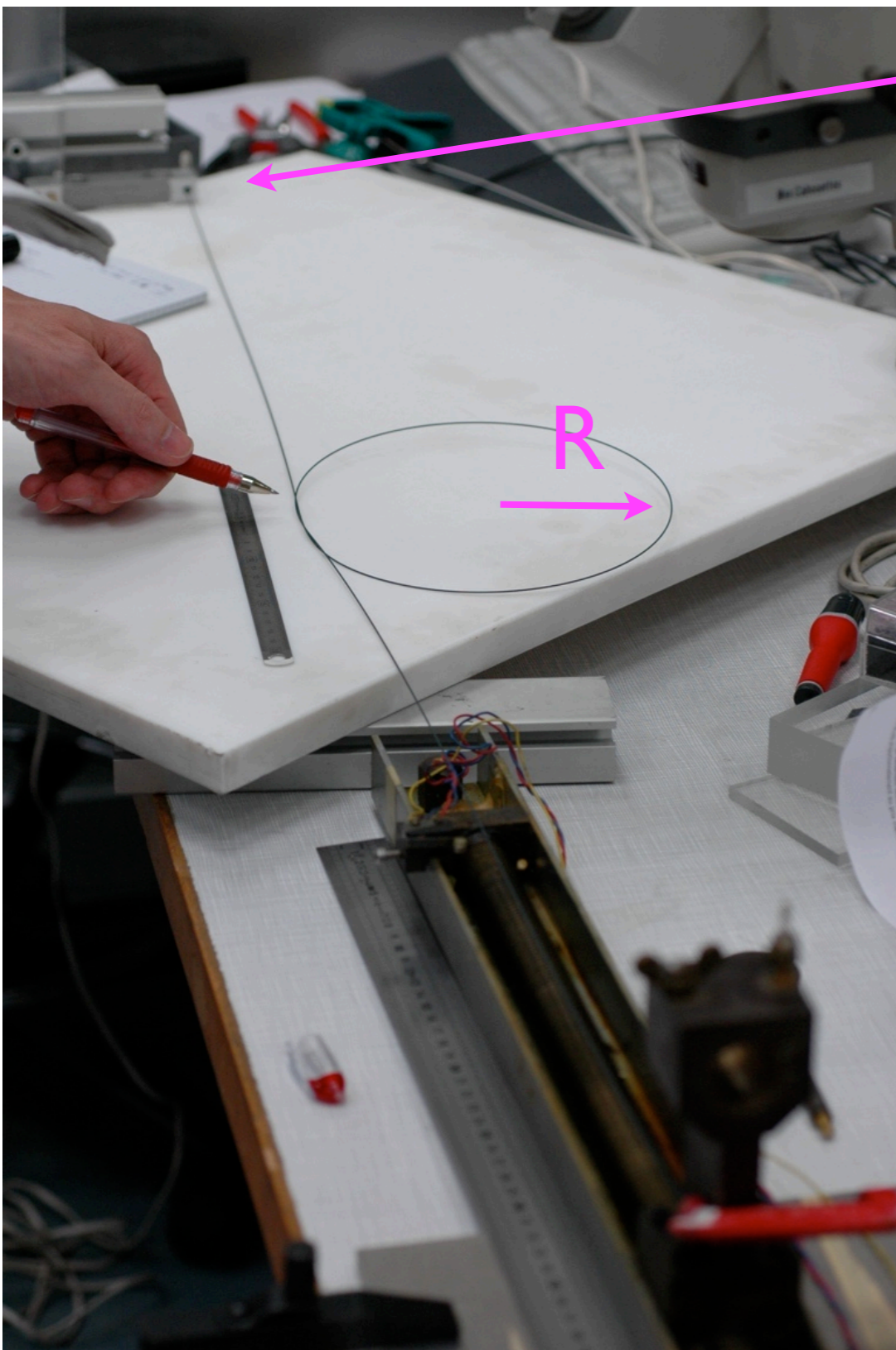


fil en silice  
 $h = 1/2$  micron

$$R = \sqrt{\frac{EI}{2T}}$$



# Expériences

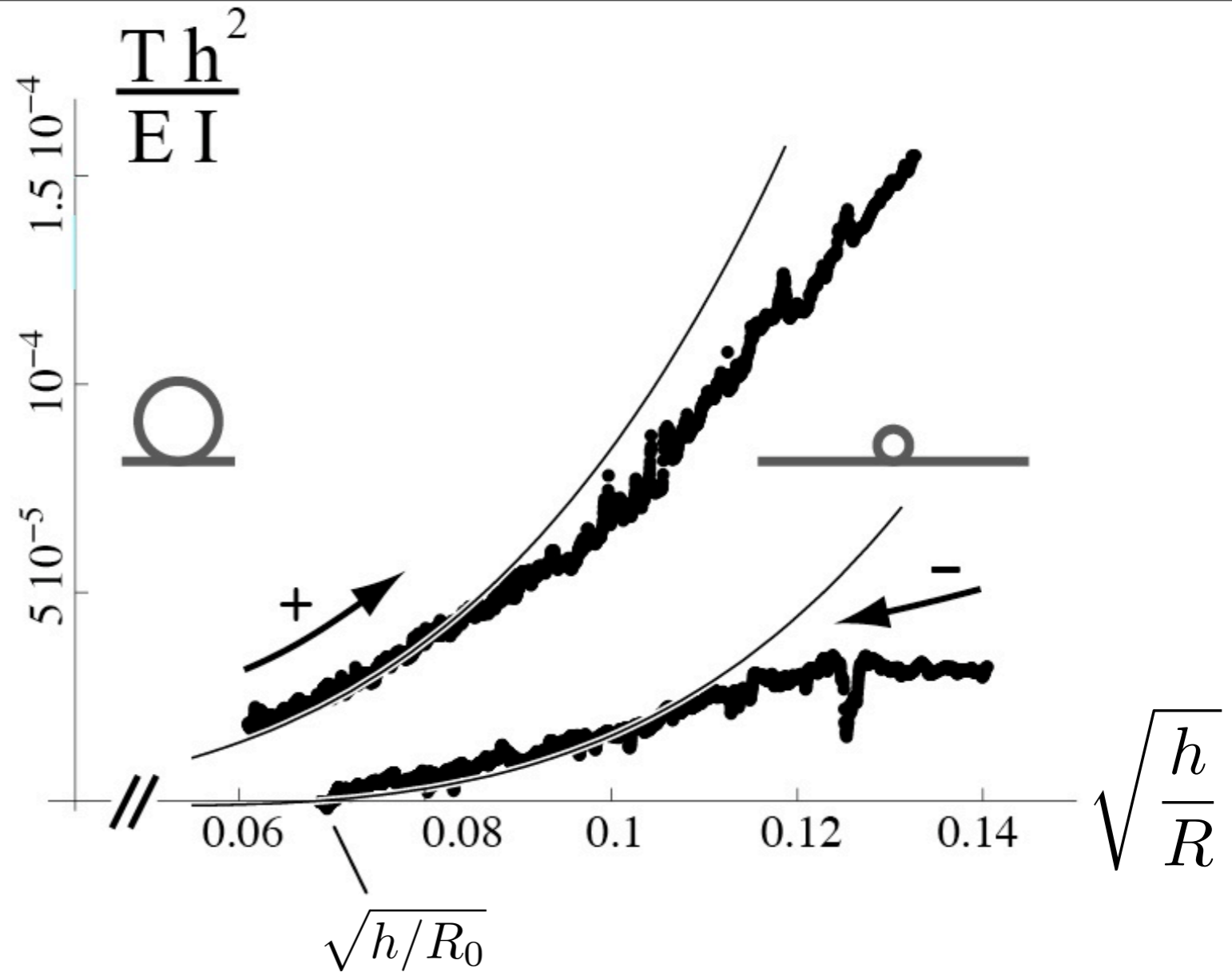


# Expériences

sans frottement

$$T = \frac{1}{2} \frac{EI}{R^2}$$

$$\Rightarrow \frac{Th^2}{EI} = \frac{1}{2} \frac{h^2}{R^2}$$



avec frottement

$$\left| \frac{Th^2}{EI} - \frac{1}{2} \frac{h^2}{R^2} \right| \leq \mu P = 0.49 \mu \left( \frac{h}{R} \right)^{3/2}$$

si  $T = 0$  : glissement jusqu'à  $R = R_0$  tel que :  $\mu = 1.02 \sqrt{\frac{h}{R_0}}$

# Fin

[www.lmm.jussieu.fr/~neukirch](http://www.lmm.jussieu.fr/~neukirch)

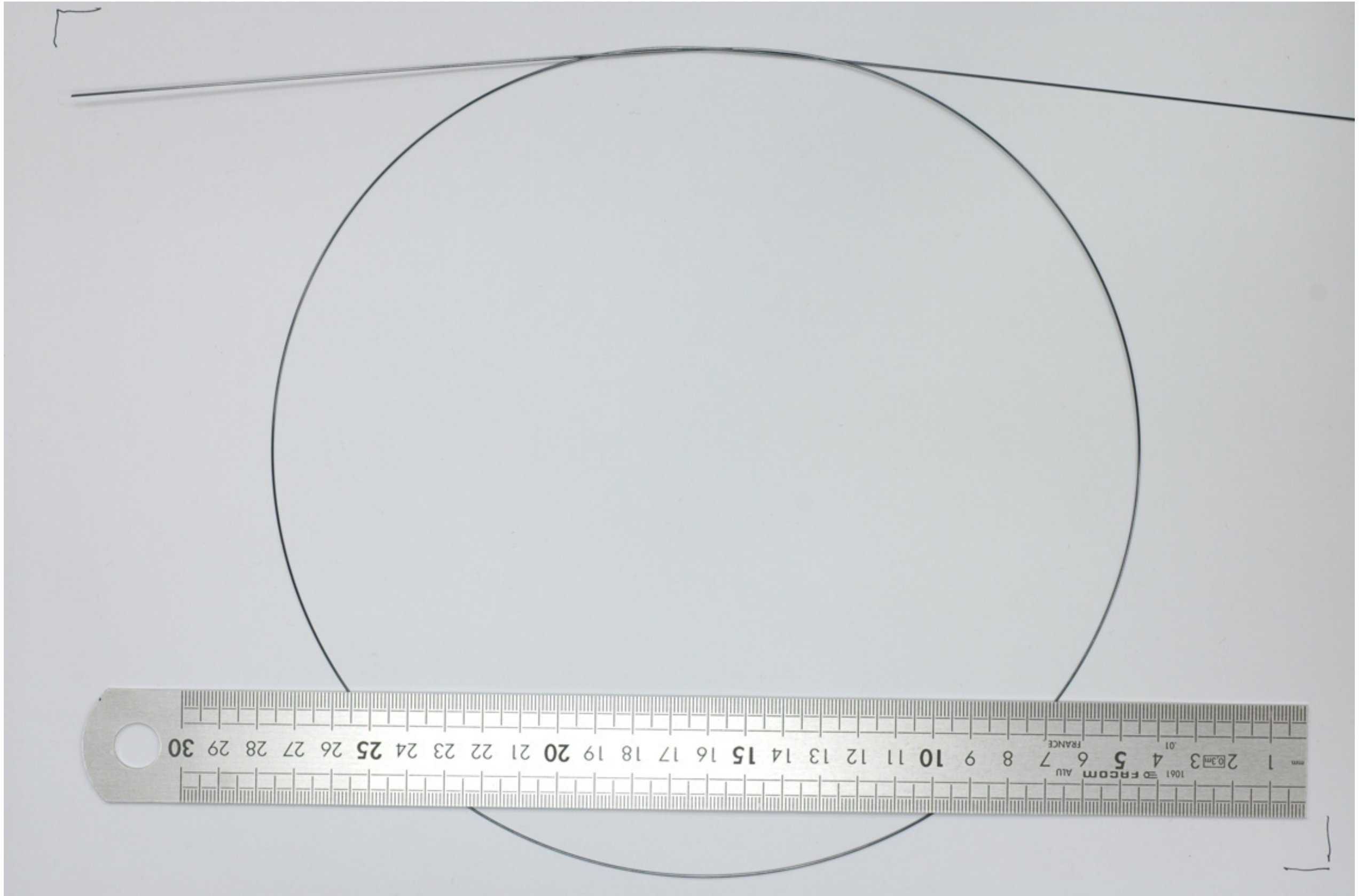
S. Neukirch, B. Roman, B. de Gaudemaris, and J. Bico. *Journal of the Mechanics and Physics of Solids*, 55 (2007) 1212–1235.

B. Audoly, N. Clauvelin, and S. Neukirch. *Physical Review Letters*, 99 (2007) 164301.

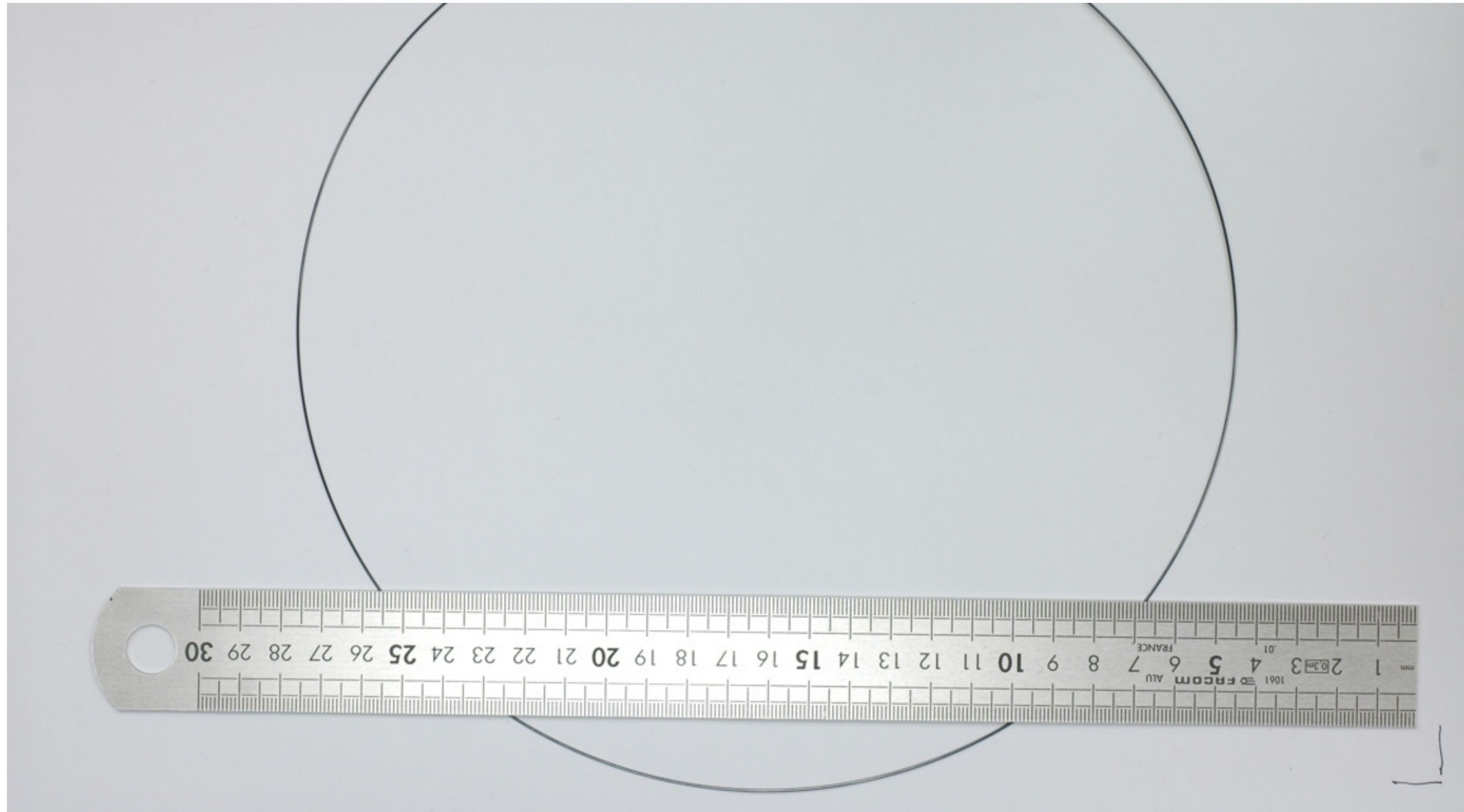
N. Clauvelin, B. Audoly, and S. Neukirch. *Journal of the Mechanics and Physics of Solids*, 57 (2009) 1623–1656.

H. O. Kirchner and S. Neukirch. *Journal of the Mechanical Behavior of Biomedical Materials*, 3 (2010) 121–123.

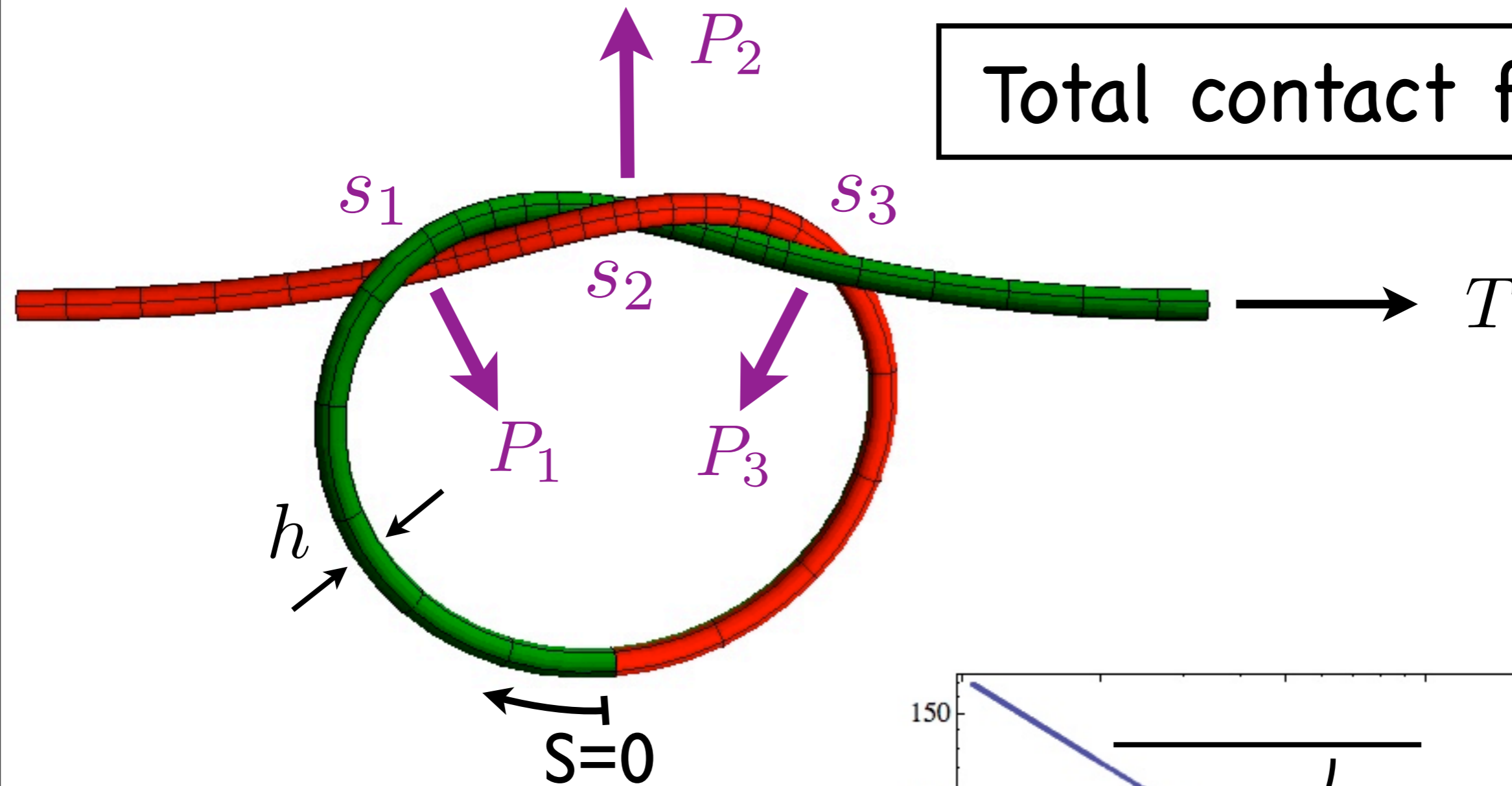
# Braid : contact topology



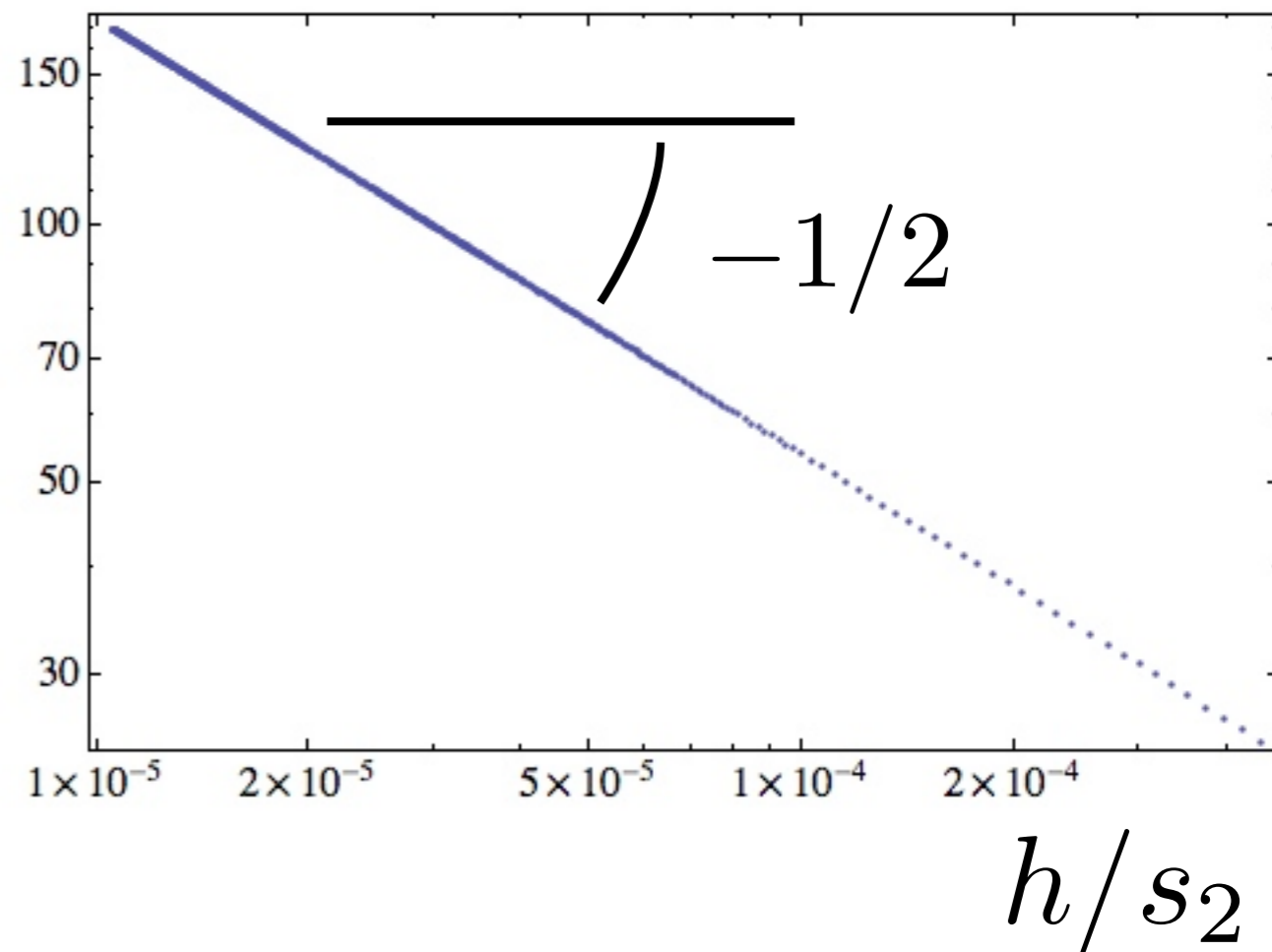
# Braid : contact topology



Total contact force



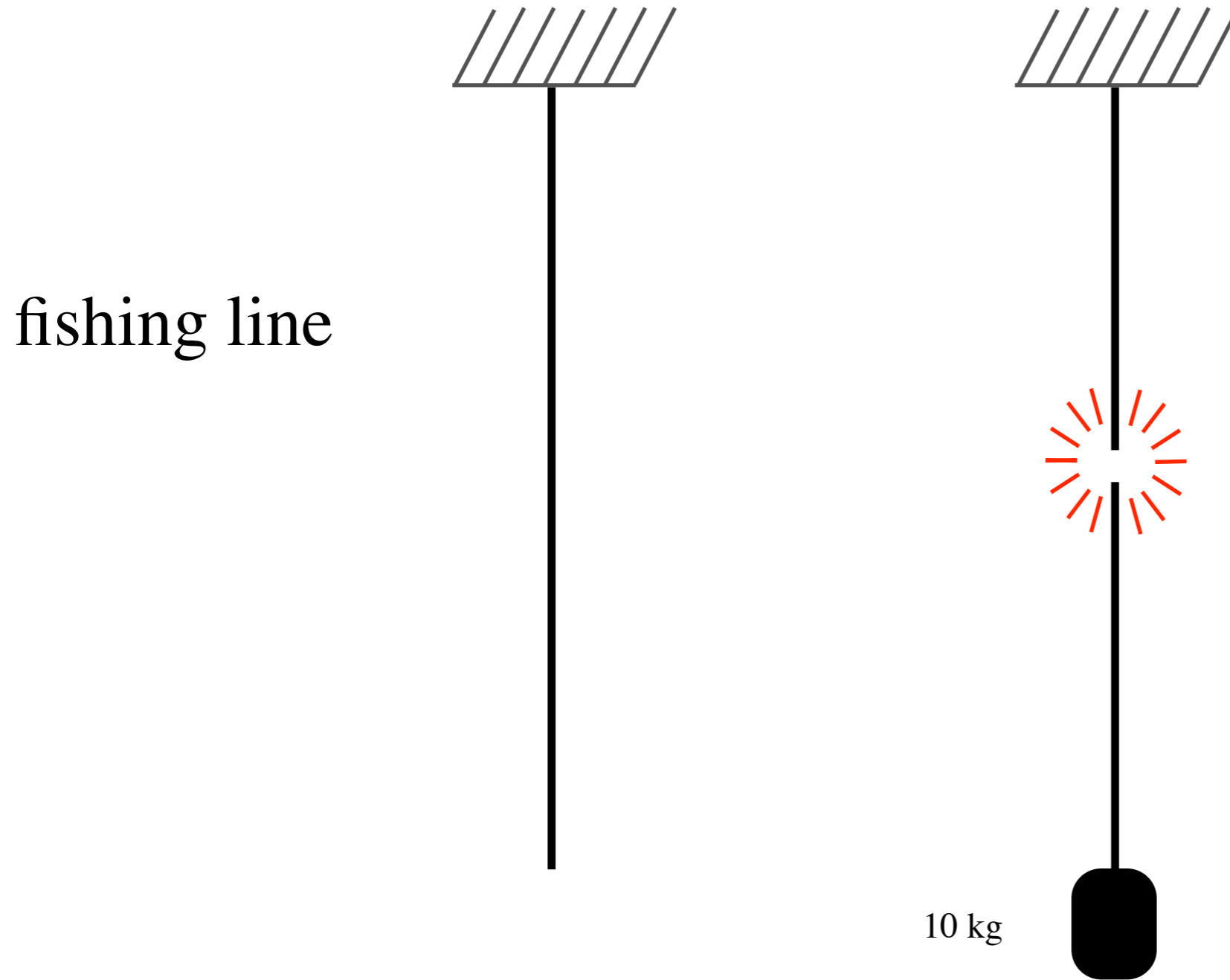
$$\frac{1}{T} \sum_i P_i$$



$$\frac{1}{T} \sum_i P_i \simeq 0.55 (h/s_2)^{-1/2}$$

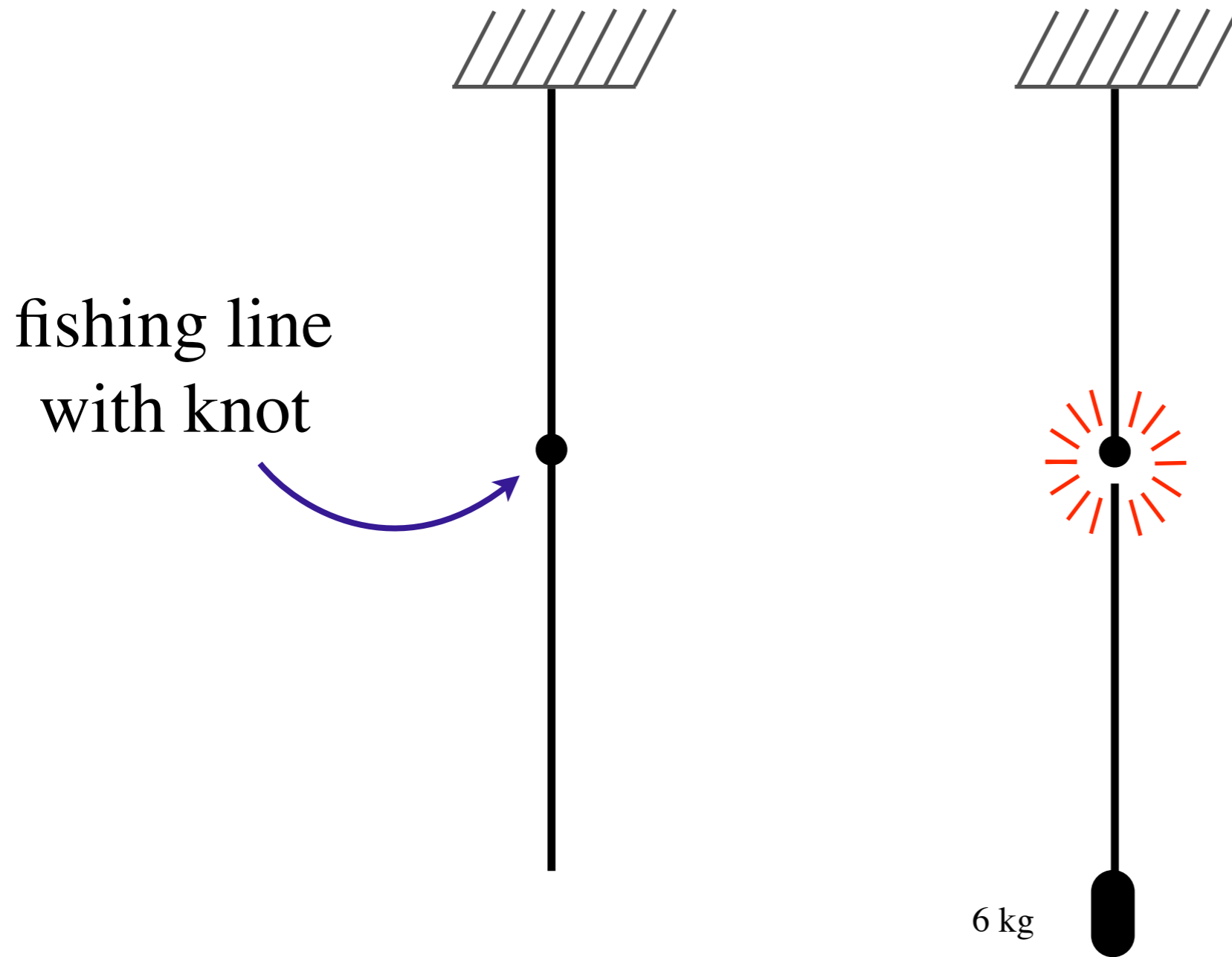


# Tensile strength of a wire



Stasiak et al, *Science* (1999)

# Tensile strength of a wire



Stasiak et al, *Science* (1999)

# Knots are everywhere

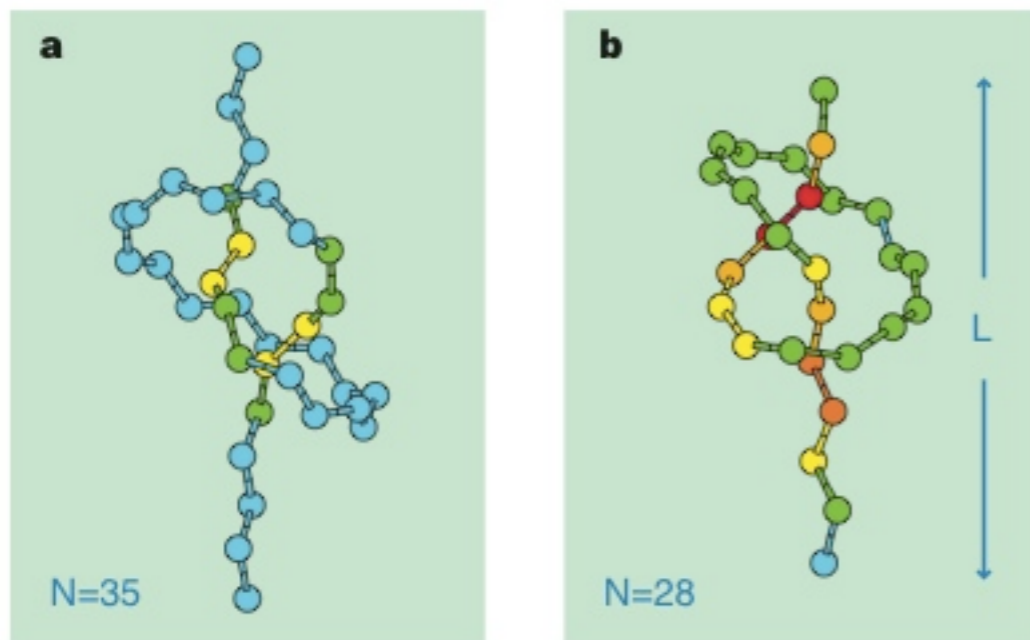
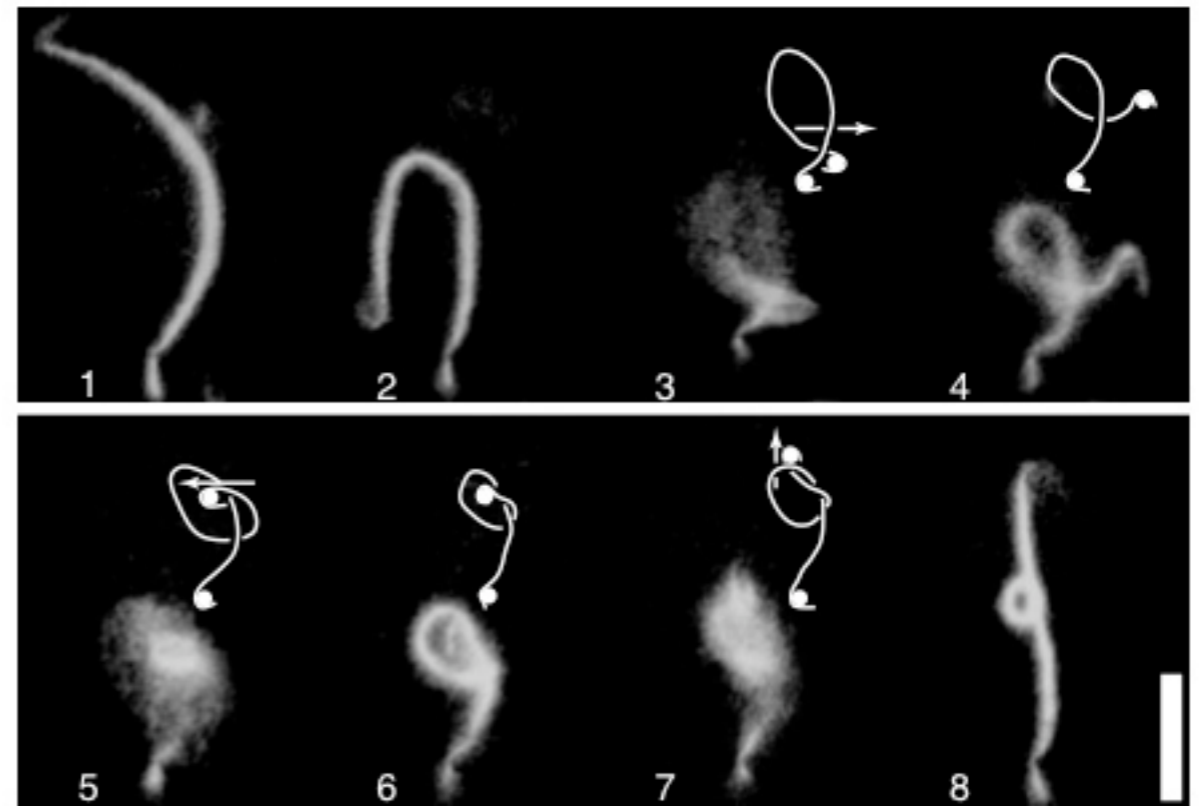
Long enough polymers are (almost) certainly knotted

Sumners+Whittington, *J. Phys. A : Math. Gen.* 1988

273 knotted proteins in the ProteinDataBank (1%)

Single molecule experiment  
with knotted F-Actin filaments

Arai et al, *Nature* (1999)



Ab-initio molecular simulations  
for alkane molecule ( $C_{10}H_{22}$ )

Saitta et al, *Nature* (1999)